

รหัสโครงการ [SUT7-710-52-12-74]



## รายงานการวิจัย

# การศึกษาผลของสารก่อผลึกต่อการตกผลึกของโพลีแลกติกแอซิด Study on the effect of nucleating agents on crystallization of polylactic acid

คณะผู้วิจัย

หัวหน้าโครงการ

ผู้ช่วยศาสตราจารย์ ดร. จันทิมา ดีประเสริฐกุล

สาขาวิชาศิวกรรมพอลิเมอร์

สำนักวิชาศิวกรรมศาสตร์

มหาวิทยาลัยเทคโนโลยีสุรนารี

ได้รับทุนอุดหนุนการวิจัยจากมหาวิทยาลัยเทคโนโลยีสุรนารี ปีงบประมาณ พ.ศ. 2552

ผลงานวิจัยเป็นความรับผิดชอบของหัวหน้าโครงการวิจัยแต่เพียงผู้เดียว

มีนาคม 2553

## กิตติกรรมประกาศ

คณะผู้วิจัยขอขอบคุณสำนักงานคณะกรรมการวิจัยแห่งชาติ (วช.) ที่ให้การสนับสนุน  
เงินทุนวิจัยสำหรับโครงการวิจัยนี้ นอกจากนี้ งานวิจัยคงไม่สามารถลุล่วงได้หากขาดผู้ช่วยวิจัยทั้ง  
ระดับปริญญาโทและปริญญาตรี เจ้าหน้าที่ศูนย์เครื่องมือและวิเคราะห์วิทยาศาสตร์ของมหาวิทยาลัย  
เทคโนโลยีสุรนารี (มส.) คณะผู้วิจัยขอขอบคุณมา ณ ที่นี่

คณะผู้วิจัยหวังเป็นอย่างยิ่งว่าผู้สนใจอ่านงานวิจัยฉบับนี้จะได้รับประโยชน์ตามสมควร

ขันทิมา ดีประเสริฐกุล

หัวหน้าโครงการฯ

บทคัดย่อ

พอลิแลกติกแอซิด (PLA) เป็นพอลิเมอร์ที่มีค่ามอดูลัสและความแข็งแรงสูง ขณะเดียวกันมีความเบาะและต่ำกว่าได้ช้า ทำให้การผสมยางธรรมชาติเพื่อช่วยเพิ่มความเหนียวและการเติมสารก่อฟลักซ์เพื่อช่วยให้ต่ำกว่าได้เร็วขึ้น ได้รับความสนใจ งานวิจัยนี้ มุ่งศึกษาผลของสารก่อฟลักซ์สามชนิด คือ แคลเซียมคาร์บอนเนต ทัลค์ และ  $\alpha$ -ไซโคลเดกตริน ที่มีต่อการต่ำกว่า พอลิเมอร์ สมบัติเชิงกล และสัณฐานวิทยาของพอลิแลกติกแอซิด และพอลิเมอร์สมรรถนะของพอลิแลกติกแอซิดและยางธรรมชาติ พบว่า การเติมทัลค์ส่งผลให้อุณหภูมิเกิดฟลักซ์จะให้ความร้อนของห้องพอลิแลกติกแอซิด และพอลิเมอร์ลดต่ำลง และ  $\alpha$ -ไซโคลเดกตรินช่วยลดเฉพาะการณ์พอลิแลกติกแอซิด สารก่อฟลักซ์ทั้งสามช่วยเพิ่มปริมาณฟลักของพอลิแลกติกแอซิด ขณะที่มีเพียงทัลค์และแคลเซียมคาร์บอนเนตที่ช่วยเพิ่มปริมาณฟลักให้กับพอลิเมอร์พสม การเติมสารก่อฟลักทั้งสามช่วยทำให้ขนาดของสเปิร์รูไลท์เล็กลง ส่งผลช่วยเสริมสมบัติด้านความเหนียวของพอลิเมอร์ จากสมบัติเชิงกลพลาสติก ทำให้รู้ว่า การเติมสารก่อฟลักไม่ส่งผลต่ออุณหภูมิเปลี่ยนสภาพเก้า ขณะที่ฟลักจะจำกัดความสามารถในการเคลื่อนที่ของสายโซ่ไม่เกิด โดยดูจากความสูงของแทนเจนต์สูญเสียที่ลดลง นอกจากนี้ สารก่อฟลักทำให้ขนาดอนุภาคของยางใหญ่ขึ้น โดยไม่ส่งผลต่อสมบัติด้านความเหนียวของพอลิเมอร์พสม ระหว่างพอลิแลกติกแอซิดและยางธรรมชาติ

## Abstract

Polylactic acid (PLA) presents high strength and modulus, but very low toughness as well as slow crystallization rate. Natural rubber (NR) is considered to enhance the toughness and nucleating agent is used to improve the crystallization. Three nucleating agents, calcium carbonate ( $\text{CaCO}_3$ ), talc and cyclodextrin (CD) were used. Here effects of nucleating agent on crystallization, mechanical properties and morphology of the PLA/NR blend in comparison to the neat PLA were investigated. The differential scanning calorimetry (DSC) results showed that the addition of talc or CD decreases cold crystallization temperature ( $T_{cc}$ ). Same result was obtained in PLA/NR10 containing talc. All nucleating agents increased the degree of crystallinity ( $X_c$ ) of PLA, whereas talc and  $\text{CaCO}_3$  increased  $X_c$  of PLA in PLA/NR10 blends. The influence of nucleating agent on mechanical properties was studied by tensile testing, notched Izod impact testing and dynamic mechanical analysis. From mechanical results, the addition of nucleating agent enhanced the toughness of PLA due to the decrement in spherulite size of PLA. Glass transition temperature ( $T_g$ ) from DMA result did not change with nucleating agent, in good agreement with DSC result. Further, crystalline structure restricted the free chain mobility, leading to the decrease of the height of  $\tan \delta$  peak. Microscopic observation revealed that the increment in size of NR particle with nucleating agent did not influence mechanical properties of blends.

## สารบัญ

### หน้า

กิตติกรรมประกาศ .....	๑
บทคัดย่อ .....	๒
Abstract .....	๓
สารบัญ .....	๔
สารบัญตาราง .....	๕
สารบัญรูป .....	๖
บทที่ ๑ บทนำ.....	๑
1.1 วัตถุประสงค์ของโครงการวิจัย .....	๒
1.2 ขอบเขตของโครงการวิจัย.....	๒
1.3 ทฤษฎี สมมติฐาน และกรอบแนวความคิดของโครงการวิจัย (Conceptual Framework) .....	๒
1.4 การทบทวนวรรณกรรม (reviewed literature) .....	๒
1.5 ประโยชน์ที่ได้รับจากการวิจัย .....	๕
บทที่ ๒ วิธีดำเนินการวิจัย .....	๖
2.1 วัสดุและสารเคมี .....	๖
2.2 วิธีการทดลอง .....	๖
2.2.1 การเตรียมตัวอย่าง .....	๖
2.2.2 การทดสอบสมบัติทางกล .....	๗
2.2.3 การทดสอบสมบัติทางความร้อน .....	๗
2.2.4 การตรวจสอบสัณฐานวิทยา.....	๘
บทที่ ๓ ผลและการอภิปราย.....	๑๐
3.1 สมบัติทางความร้อนและการเกิดผลึก (Thermal properties and crystallization) .....	๑๐
3.1.1 อุณหภูมิเปลี่ยนสภาพเหลว (Glass transition temperature, Tg) .....	๑๑
3.1.2 อุณหภูมิการเกิดผลึกเมื่อให้ความร้อน (cold crystallization temperature, Tcc) ....	๑๓

## สารบัญ (ต่อ)

3.1.3	อุณหภูมิหลอม (melting temperature, Tm).....	13
3.1.4	ปริมาณผลึก (Degree of crystallinity, %Xc).....	14
3.1.5	โครงสร้างสเฟรูลิต (Spherulite structure) .....	16
3.2	สมบัติเชิงกล (Mechanical properties).....	19
3.2.1	ค่าระยะยืดที่ขาดและยังคงอุดลักษณ์ (Elongation at break and Young's modulus).....	19
3.2.2	ค่าความหนึบแบบแรงดึงและแบบแรงกระแทก (Tensile and impact toughness).....	22
3.2.3	สมบัติเชิงกลพลวัติ (Dynamic mechanical properties).....	24
3.3	ลักษณะวิทยา (Morphology).....	27
บทที่ 4	สรุปและข้อเสนอแนะ .....	30
เอกสารอ้างอิง .....		31
<b>ภาคผนวก</b>		
	ภาคผนวก ก .....	33
	ประวัติผู้เขียน .....	34

## สารบัญตาราง

ตารางที่ 3.1 สมบัติทางความร้อนของ PLA และ PLA/NR ที่เดิมและไม่เดิมสารก่อผลึกภายในได้การ ให้ความร้อนครั้งที่ 2 .....	14
ตารางที่ 3.2 สมบัติทางความร้อนของ PLA และ PLA/NR ที่เดิมและไม่เดิมสารก่อผลึกภายในได้การ ให้ความร้อนครั้งที่ 1 .....	16

## สารบัญรูป

รูปที่ 3.1 เทอร์โมแกรม DSC ของ PLA ที่อัตราการให้ความร้อน หรืออัตราการทำให้เย็นเท่ากับ $10^{\circ}\text{C}/\text{min}$ .....	11
รูปที่ 3.2 เทอร์โมแกรม DSC ของ PLA และ PLA ที่ไม่มีสารก่อผลึก 1% (โดยน้ำหนัก) เมื่อให้ความร้อนครั้งที่ 2 ที่อัตราการให้ความร้อนเท่ากับ $10^{\circ}\text{C}/\text{min}$ .....	12
รูปที่ 3.3 เทอร์โมแกรม DSC ของ PLA/NR ที่ไม่มีและมีสารก่อผลึก 1% (โดยน้ำหนัก) เมื่อให้ความร้อนครั้งที่ 2 ที่อัตราการให้ความร้อนเท่ากับ $10^{\circ}\text{C}/\text{min}$ .....	12
รูปที่ 3.4 ภาพของ PLA ที่ไม่มีและมีสารก่อผลึกเมื่อส่องด้วยกล้องจุลทรรศน์แบบแสงโพลาไรท์..	17
รูปที่ 3.5 แสดงภาพของ PLA/NR ที่ไม่มีและมีสารก่อผลึกเมื่อส่องด้วยกล้องจุลทรรศน์แบบแสงโพลาไรท์.....	18
รูปที่ 3.6 แสดงภาพของ PLA ที่ไม่มีและมีการเติมสารก่อผลึกที่ตัดเป็นพิล์มนางจากชิ้นงานที่ผ่านการทดสอบการแตกหักเมื่อส่องด้วยกล้องจุลทรรศน์แบบแสงโพลาไรท์.....	19
รูปที่ 3.7 ความเด่น-ความเครียดของ PLA ที่ไม่มีและมีการเติมสารก่อผลึก .....	20
รูปที่ 3.8 ค่าระยืดที่จุดขาดและยังกันอุดลั้สของ PLA ที่ไม่มีและมีการเติมสารก่อผลึก.....	20
รูปที่ 3.9 ความเด่น-ความเครียดของ PLA/NR ที่ไม่มีและมีการเติมสารก่อผลึก .....	21
รูปที่ 3.10 ค่าระยืดที่จุดขาดและยังกันอุดลั้สของ PLA/NR ที่ไม่มีและมีการเติมสารก่อผลึก.....	22
รูปที่ 3.11 ความหนึบแน่นแบบแรงดึง (สัญลักษณ์วงกลม) และแบบแรงกระแทก (สัญลักษณ์สี่เหลี่ยม) ของ PLA ที่ไม่มีและมีการเติมสารก่อผลึก.....	23
รูปที่ 3.12 ความหนึบแน่นแบบแรงดึง (สัญลักษณ์วงกลม) และแบบแรงกระแทก (สัญลักษณ์สี่เหลี่ยม) ของ PLA/NR ที่ไม่มีและมีการเติมสารก่อผลึก .....	23
รูปที่ 3.13 กราฟระหว่างมอคุลัสสะสม ( $E'$ ) และอุณหภูมิของ PLA ที่ไม่มีและมีการเติมสารก่อผลึก	24
รูปที่ 3.14 กราฟระหว่างมอคุลัสสะสม ( $E'$ ) และอุณหภูมิของ PLA/NR ที่ไม่มีและมีการเติมสารก่อผลึก.....	25
รูปที่ 3.15 กราฟระหว่าง $\tan \delta$ และอุณหภูมิของ PLA ที่ไม่มีและมีการเติมสารก่อผลึก .....	26
รูปที่ 3.16 กราฟระหว่าง $\tan \delta$ และอุณหภูมิของ PLA/NR ที่ไม่มีและมีการเติมสารก่อผลึก.....	27

## สารบัญรูป (ต่อ)

รูปที่ 3.17 ไมโครกราฟจาก SEM บริเวณผิวน้ำของชิ้นงานของ PLA/NR ที่ผ่านการทดสอบแรงกระแทกที่ไม่มีและมีการเติมสารก่อพลีก .....28
รูปที่ 3.18 ขนาดอนุภาคเฉลี่ยโดยปริมาตรของยางใน PLA/NR ที่มีและไม่มีการเติมสารก่อพลีก....28

## บทที่ 1

### บทนำ

ช่วงหลาบีที่ผ่านมา พอลิแลกติกแอซิด (polylactic acid, PLA) ซึ่งเป็นพลาสติกย่อยสลายได้ทางชีวภาพ (biodegradable polymer) ได้รับความสนใจเป็นอย่างสูงในฐานะวัสดุที่เป็นมิตรต่อสิ่งแวดล้อม ในปัจจุบัน ได้เริ่มถูกนำมาใช้งานในรูปของบรรจุภัณฑ์และวัสดุทางการแพทย์ ทั้งนี้ เพราะสามารถย่อยสลายได้ทางชีวภาพ (biodegradable) สามารถเข้ากับชีวภาพได้ (biocompatible) และมีสมบัติทางกายภาพที่ดี อย่างไรก็ตาม การศึกษาเพื่อพัฒนาสมบัติของ PLA ยังคงมีอย่างต่อเนื่อง โดยเฉพาะอย่างยิ่งสมบัติที่เกี่ยวข้องกับการขึ้นรูปผลิตภัณฑ์

จากการวิจัยที่มีมาก่อน ชี้ให้เห็นว่า อัตราการตกหลักของ PLA ช้ามาก ส่งผลต่อความสามารถในการขึ้นรูป (processability) เพื่อให้ผลิตภัณฑ์ที่มีสมบัติตามต้องการจะต้องใช้เวลาในการทำให้เย็นนานเพื่อให้ PLA เกิดผลึก ทำให้เกิดการศึกษาวิจัยเพื่อแก้ปัญหานี้ โดยแนวทางที่ใช้จะเน้นการใช้สารก่อผลึก (nucleating agent) เช่น talc อะลิเฟติกเอไมด์ที่มีน้ำหนักโมเลกุลต่ำ ไฮเปอร์บранช์รานส์พอลิเอสเทอร์เอไมด์ [hyperbranched poly(ester amide)] สเตอริโอกอนเพล็กซ์ของพอลิ(D-แลกติกแอซิด, PDLA) และ พอลิ(L-แลกติกแอซิด, PLLA) เป็นต้น

เมื่อไม่นานมานี้ ได้มีการนำสารไซโคเดกตริน (cyclodextrins) ซึ่งเป็นสารที่ได้จากวัสดุธรรมชาติ สามารถย่อยสลายได้ทางชีวภาพและสามารถเข้ากับชีวภาพได้มาใช้เป็นสารก่อผลึก (เรียกได้ว่าเป็น green nucleating agent) ในพอลิเอสเทอร์ชนิดอะลิเฟติก ทำให้อัตราการตกหลักเร็ว จากการสืบค้นที่ได้ ยังไม่พบการศึกษาที่ใช้สารนี้ในพอลิแลกติกแอซิดที่มีน้ำหนักโมเลกุลสูง ผู้วิจัยจึงเสนอที่จะใช้สารไซโคเดกตรินเพื่อแก้ปัญหาอัตราการตกหลักของ PLA ที่ช้ามากนี้ ผลการวิจัยที่ได้น่าจะเป็นประโยชน์ในด้านขึ้นรูปของอุตสาหกรรมผลิตภัณฑ์พลาสติกย่อยสลายได้ทางชีวภาพ

## 1.1 วัตถุประสงค์ของโครงการวิจัย

เพื่อหาแนวทางปรับความสามารถในการขึ้นรูปของ PLA ด้วยสารก่อผลึกที่ได้จากวัสดุธรรมชาติ

## 1.2 ขอบเขตของโครงการวิจัย

ศึกษาผลของสารไชโคลเดกตรินต่อการตกหลัก (ปริมาณพลีกและอุณหภูมิหลอม) ของ PLA ซึ่งใช้ในงานบรรจุภัณฑ์ ตรวจสอบสมบัติเชิงกลของ PLA ที่เติมสารไชโคลเดกตริน รวมทั้ง ศึกษาเปรียบเทียบและวิเคราะห์ผลที่ได้เมื่อใช้ทัลค์ (talc) และแคลเซียมคาร์บอนेट ( $\text{CaCO}_3$ ) ซึ่งเป็นสารก่อผลลัพธ์ที่นิยมใช้กันทั่วไป นอกจากนี้ ยังศึกษาผลของสารก่อผลลัพธ์สามชนิดต่อการตกหลักและสมบัติเชิงกลของพอลิเมอร์สมรรถนะว่างพอลิแลกติกแอซิดและยางธรรมชาติ ที่มีปริมาณยางธรรมชาติ 10% โดยนำหนัก (PLA/NR) อนึ่ง จากการศึกษาวิจัย พบว่า การผสม NR ที่ปริมาณดังกล่าวใน PLA ช่วยลดปัญหาความเปราะของ PLA ได้ดีที่สุด

### 1.3 ทฤษฎี สมมติฐาน และกรอบแนวความคิดของโครงการวิจัย (Conceptual Framework)

การใช้สารก่อพลักในการตอกผลิตภัณฑ์เป็นแนวทางที่ใช้เพื่อลดระยะเวลาการหล่อเย็นในกระบวนการเชื่อมรูปและปรับสมบัติเชิงกลและสมบัติทางความร้อนของพอลิเมอร์ การเลือกใช้ชนิดและปริมาณสารก่อพลักที่เหมาะสม จะช่วยปรับกระบวนการตอกพลักให้มีความรวดเร็ว ได้ขนาดและโครงสร้างพลักตามที่ต้องการและเหมาะสมต่อการนำไปใช้ประโยชน์ได้

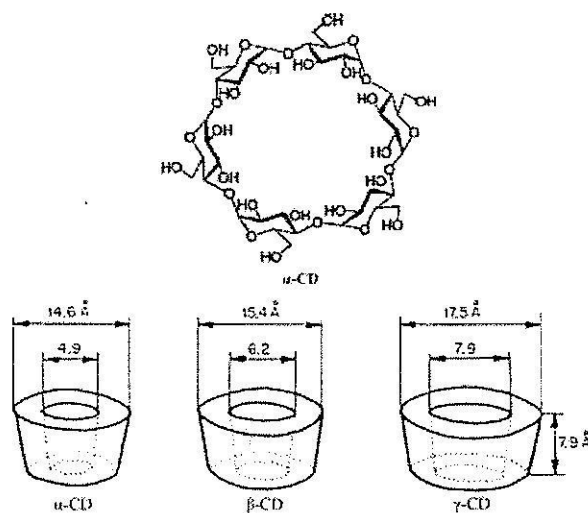
#### 1.4 การทบทวนวรรณกรรม (reviewed literature)

กระบวนการเกิดผลึกของพอลิเมอร์ ประกอบด้วย 2 ขั้นตอนหลัก กือ การเกิดนิวเคลียตัน (nucleation) และการเติบโตของนิวเคลียต์ (growth) โดยในขั้นตอนแรก ยังสามารถจำแนกได้เป็น การเกิดนิวเคลียต์แบบ homo เนียต์ (homogeneous nucleation) ซึ่งนิวเคลียต์สามารถเกิดได้แบบทันทีทันใด และแบบเช่าเทอ โรจ์เนียต์ (heterogeneous nucleation) ซึ่งต้องอาศัยอนุภาค เช่น impurities และสารก่อผลึก (nucleating agent) เพื่อหนี่บวน้ำให้เกิดนิวเคลียต์ โดยทั่วไป การเติมสาร

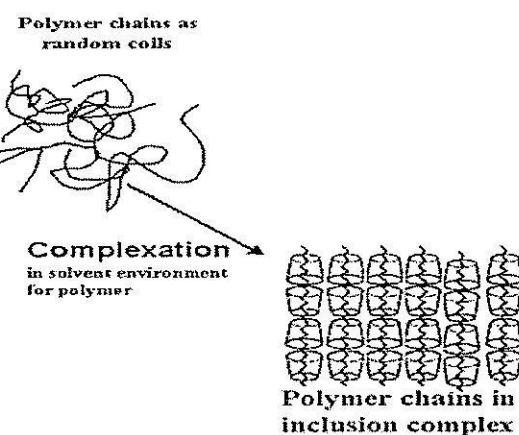
ก่อผลึกจะช่วยเพิ่มอุณหภูมิการตกผลึก ปริมาณผลึก และอัตราเร็วการตกผลึก และทำให้ได้สเปียร์ไอลท์ของพอลิเมอร์ขนาดเด็ก

การเติมสารก่อผลึก (nucleating agent) เป็นแนวทางการปรับปรุงอัตราการตกผลึกของพอลิเมอร์ที่สำคัญแนวทางหนึ่ง สำหรับพอลิแลกติกแอซิด (PLA) มีการใช้สารก่อผลึกหลายชนิดเพื่อเพิ่มอัตราการตกผลึก อาทิ ทัลค์ (talc) อะลิเฟติกเอไมด์ที่มีน้ำหนักโมเลกุลต่ำ ไฮเปอร์บранช์พอลิเอสเทอร์เอไมด์ [hyperbranched poly(ester amide)] สเตอโริโอกอนเพล็กซ์ของพอลิ(D-แลกติกแอซิด, PDLA) และ พอลิ(L-แลกติกแอซิด, PLLA) เป็นต้น Kolstad ได้ใช้ทัลค์ (talc) ซึ่งเป็นสารอินทรีย์ พบว่าสามารถช่วยเพิ่มอัตราการตกผลึกของ PLLA ได้ อีกตามในบางกรณี สมบัติทางกายภาพของพอลิเมอร์กลับดีขึ้น นอกจากนี้ มีการศึกษาที่ชี้ให้เห็นว่าทัลค์อาจเป็นสารที่ก่อมะเร็งได้<sup>2</sup> Schmidt และคณะ ได้เติม PDLA ลงใน PLLA ซึ่งทั้งสองเกิดผลึก stereocomplex ซึ่งทำหน้าที่เป็นสารก่อผลึก ช่วยเพิ่มอัตราการตกผลึกของเมทริกซ์ PLLA ได้<sup>3</sup> เนื่องจาก การผลิต PDLA ยังมีราคาสูง เป็นข้อจำกัดของ stereocomplex นี้ Nam และคณะ ได้มีการใช้สารอินทรีย์ N, N-เอทิลีนบิส(12-ไซดรอกซิสเตเบราไมด์) ซึ่งเป็นอะลิเฟติกเอไมด์ที่มีน้ำหนักโมเลกุลต่ำ เติมลงใน PLA พบว่า อัตราการตกผลึกเพิ่มขึ้น โดยสารนี้จะตกผลึกในช่วงเวลาเริ่มต้นการตกผลึกของ PLA ทำให้ทำหน้าที่เป็นสารก่อผลึกได้<sup>4</sup> Jiang และคณะ<sup>5</sup> ได้ศึกษาพัฒนาระบบการผลึกของนาโนคอมโพลิทระหว่าง PLA กับ แคลเซียมคาร์บอนेटขนาดนาโน พบว่า อุณหภูมิการเกิดผลึกเมื่อให้ความร้อนของ PLA ลดลง ขณะที่ปริมาณผลึกสูงขึ้น

จากการของ Harada พบว่า  $\alpha$ -ไซโคลเดกตริน ซึ่งเป็นสารที่ได้จากวัสดุธรรมชาติ สามารถเกิด inclusion complex กับพอลิเอทิลีนไกลโคล<sup>6,7</sup> ส่งผลให้มีการศึกษาการใช้ประโยชน์จากไซโคลเดกตรินเพื่อปรับปรุงความเข้ากันได้<sup>8,9</sup> ความสามารถในการย่อยสลายได้<sup>10</sup> และการตกผลึกของพอลิเมอร์<sup>11,12</sup> โดยโครงสร้างและขนาดของไซโคลเดกตรินแสดงดังรูปที่ 1.1 และภาพแสดงการเกิด inclusion complex ระหว่างพอลิเมอร์และไซโคลเดกตรินแสดงดังรูปที่ 1.2



รูปที่ 1.1 โครงสร้างและขนาดของสารไซโคลเดกตริน<sup>12</sup>



รูปที่ 1.2 ภาพแสดงการเกิด inclusion complex ของสายโซ่พอลิเมอร์<sup>12</sup>

Dong และคณะได้ศึกษาผลของ  $\alpha$ -ไซโคลเดกตรินที่มีต่อพฤติกรรมการตกผลึกของพอลิคิตโนร์แลคโตน [poly ( $\epsilon$ -caprolactone), PCL] และพอลิบิวทีลีนซัคซิเนท [poly(butylene succinate), PBS] พบร่วมกับ  $\alpha$ -ไซโคลเดกตริน สามารถเกิด inclusion complex กับ PCL และ PBS และ inclusion complex นี้ส่งผลให้การตกผลึกของพอลิเมอร์มีประสิทธิภาพขึ้น<sup>13</sup> He และ Inoue ได้เติมไซโคลเดกตรินในพอลิ3-ไฮดรอกซีบิวทีเลท [poly(3-hydroxybutyrate), PHB] ซึ่งเป็นพอลิอีสเทอร์ที่สามารถขอยลายได้ทางชีวภาพ พบร่วมกับช่วยเพิ่มอัตราการตกผลึกเป็นอย่างมาก<sup>14,15</sup> Vogel และคณะได้เตรียมเส้นใย PHB ที่ทนต่อการดึงสูงเพื่อใช้ในวิศวกรรมเนื้อเยื่อ โดยมีการใช้ไซโคลเดกตรินเช่นกัน<sup>16</sup>

จากการศึกษาของ Wei และคณะ พบว่า เมื่อมีการเติม  $\alpha$ -ไซโคลเดกตริน จะส่งผลต่อการตกผลึกของ PLLA ที่มีน้ำหนักโมเลกุลเฉลี่ยโดยจำนวน 7,000 กรัม/โมล ทำให้อุณหภูมิหลอมและปริมาณผลึกสูงขึ้น<sup>11</sup> ยังไม่พบข้อมูลการศึกษาที่ใช้ PLLA ที่มีน้ำหนักโมเลกุลสูง

### 1.5 ประโยชน์ที่ได้รับจากการวิจัย

จากการวิจัย ทำให้ทราบถึง บทบาทของสารก่อผลึก (ทัลค์ แคลเซียมคาร์บอเนต และ  $\alpha$ -ไซโคลเดกตริน) ที่มีต่อการตกผลึกและสมบัติเชิงกลของพอลิแลกติกแอซิดและพอลิเมอร์ส่วนระหว่างพอลิแลกติกแอซิดกับยางธรรมชาติ ซึ่งเป็นข้อมูลที่ใช้ประกอบการพิจารณาเลือกสภาวะในการขึ้นรูปและกำหนดสมบัติของผลิตภัณฑ์จากพอลิเมอร์ดังกล่าวได้

## บทที่ 2

### วิธีดำเนินการวิจัย

โครงการวิจัยนี้ มีวิธีดำเนินการวิจัยประกอบด้วยขั้นตอนหลัก คือ 1. ผสมพอลิเมอร์กับสารก่อผลึก โดยใช้สารก่อผลึก 1% โดยน้ำหนัก 2. เตรียมชิ้นทดสอบ 3. ทดสอบสมบัติทางความร้อน เพื่อหาอุณหภูมิранส์ขั้นแรก อุณหภูมิหลอม อุณหภูมิการเกิดผลึก 4. ทดสอบสมบัติเชิงกล ได้แก่ การดึง การหันแรงกระแทก และ 5. ตรวจสอบสัณฐานวิทยา

#### 2.1 วัสดุและสารเคมี

1. พอลิแลกติกแอซิด (PLA) ของบริษัท NatureWorks LLC เกรด 4042D
2. สารก่อผลึก ได้แก่  $\alpha$ -ไซโคลเดกตริน ( $\alpha$ -CD) ทัลค์ (talc) และแคลเซียมคาร์บอนเนต ( $\text{CaCO}_3$ ) ของบริษัท Sigma Aldrich
3. น้ำยางธรรมชาติขั้นชนิดแอมโมเนียสูง (High ammonia natural rubber latex) ซื้อจาก บ.ไทยชั้วยางพารา จำกัด (มหาชน) ทำการอบให้แห้งในตู้อบที่อุณหภูมิ  $70^\circ\text{C}$

#### 2.2 วิธีการทดลอง

##### 2.2.1 การเตรียมตัวอย่าง

1. ทำการผสม PLA กับสารก่อผลึกในปริมาณ 1% (โดยน้ำหนัก) ด้วยเครื่องบดผสมภายใน Haake รุ่น Rheomix 600p ความเร็วรอบของเก็นหมุน 50 rpm ที่อุณหภูมิ  $180^\circ\text{C}$  เป็นเวลา 20 นาที โดยก่อนผสมทำการอบทั้งเม็ด PLA ที่อุณหภูมิ  $70^\circ\text{C}$  เป็นเวลา 8 ชั่วโมง ในกรณีพอลิเมอร์ผสม PLA/NR ที่มีปริมาณยาง 10% (โดยน้ำหนัก) จะทำการผสมกับสารก่อผลึกในลักษณะเดียวกัน
2. นำออกจากการอบ เก็บไว้ที่อุณหภูมิห้อง บดด้วยเครื่องบด Retsch ให้มีลักษณะเป็นเม็ด เก็บไว้ที่อุณหภูมิห้องเป็นเวลา 24 ชั่วโมง

3. เตรียมชิ้นตัวอย่างเพื่อใช้ทดสอบสมบัติทางกล ด้วยการกัดอัด โดยใช้เครื่องกัดอัด Gotech รุ่น GT-7014-A30 เข้าแม่พิมพ์ที่ทำขึ้นเองโดยให้ความร้อนที่อุณหภูมิ  $180^{\circ}\text{C}$  เป็นเวลา 10 นาที ปั๊มและกัดอัด 10 นาที สำหรับการทดสอบการดึง ชิ้นตัวอย่างมีขนาดตามมาตรฐาน ASTM D468, type V (รูปทรง dumbbell) สำหรับการทดสอบแรงกระแทกแบบ Notched Izod (รูปทรงแท่ง) ตามมาตรฐาน ASTM 256 และสำหรับการวิเคราะห์สมบัติเชิงกลพลวัติ เตรียมชิ้นตัวอย่างขนาด  $5 \times 20 \times 1$  (กว้างxยาวxหนา หน่วยมิลลิเมตร)

### 2.2.2 การทดสอบสมบัติทางกล

#### 2.2.2.1 การดึง (Tensile test)

- ทดสอบการดึงด้วยเครื่อง Instron universal testing รุ่น 5569 โดยใช้ load cell ขนาด 5 kN
- จับยึดชิ้นตัวอย่างด้วยหัวจับ (grip) ขนาดของ gauge length เท่ากับ 7.62 มิลลิเมตร ทำการดึงที่ความเร็วของ crosshead 1 มิลลิเมตร/นาที ที่อุณหภูมิ  $25^{\circ}\text{C}$
- ทำการทดสอบชิ้นตัวอย่าง ตัวอย่างละอย่างน้อย 5 ชิ้น บันทึกผล

#### 2.2.2.2 การกระแทกแบบมีการทารอยจากนั้นงาน (Notched impact test)

- ทดสอบการกระแทกด้วยเครื่อง Atlas testing รุ่น BPI โดยใช้ pendulum energy 2.7 J ที่อุณหภูมิ  $25^{\circ}\text{C}$
- ทำการทดสอบชิ้นตัวอย่าง อย่างละ 5 ชิ้น บันทึกผล

#### 2.2.2.3 การวิเคราะห์สมบัติเชิงกลพลวัติ (Dynamic mechanical analysis)

- ทดสอบด้วยเครื่อง dynamic mechanical analyzer ของ Perkin Elmer รุ่น DMA 7e ในโหมด 3-point bending
- ทำการทดสอบ ที่ขนาดความเครียด 0.02% ช่วงอุณหภูมิ 20 ถึง  $80^{\circ}\text{C}$  อัตราการให้ความร้อน  $5^{\circ}\text{C}/\text{min}$  ที่ความถี่ 1 เฮิร์ต บันทึกผล

### 2.2.3 การทดสอบสมบัติทางความร้อน

- ทดสอบสมบัติทางความร้อนด้วยเครื่อง differential scanning calorimetry (DSC) ของ Perkin Elmer รุ่น DSC-7 ทำการ run baseline ช่วงอุณหภูมิ  $25\text{--}200^{\circ}\text{C}$  ที่อัตรา  $10^{\circ}\text{C}/\text{นาที}$

2. บรรจุตัวอย่างลงในจานอลูมิเนียม (aluminum pan) ปริมาณ 5-10 มิลลิกรัม ใส่ลงในเครื่อง DSC
3. ทำการทดสอบโดยเริ่มให้ความร้อนจาก 25 ถึง 200 °C ที่อัตรา 10 °C/นาที (first heating) รักษาอุณหภูมิให้คงที่ 2 นาที (isothermal) เพื่อช่วยลบ thermal history อันเนื่องมาจากการเตรียมตัวอย่างได้ จากนั้นทำให้เย็นตัวจาก 200 ถึง 25 °C ที่อัตรา 10 °C/นาที (cooling) และให้ความร้อนจาก 20 ถึง 200 °C ที่อัตรา 10 °C/นาที (second heating) บันทึกการเปลี่ยนแปลงปริมาณความร้อน คำนวณหาปริมาณของผลึก (%X<sub>c</sub>) โดยใช้สมการ (2.1) ข้างล่างนี้

$$\%X_c = \frac{[(\Delta H_m - \Delta H_{cc}) / \Delta H_m^0]}{\Phi_{PLA}} \quad (2.1)$$

โดยที่  $\Delta H_m$  แทน เอนทาลปีของการหลอม

$\Delta H_{cc}$  แทน เอนทาลปีของการเกิดผลึกเมื่อให้ความร้อน (cold crystallization)

$\Delta H_m^0$  แทน เอนทาลปีการหลอมของ PLA ที่ปริมาณผลึก 100% มีค่าเท่ากับ 93 J/g<sup>17</sup>

$\Phi_{PLA}$  แทน สัดส่วน โดยน้ำหนักของ PLA

#### 2.2.4 การตรวจสอบสัณฐานวิทยา

##### 2.2.4.1 ไมโครสโคปแบบแสงโพลาไรซ์ (Polarized light optical microscopy)

1. ตัดชิ้นตัวอย่างด้วยเครื่องอัลตรามิโครโตม (ultramicrotome)
2. วางตัวอย่างที่บางนิ่นบนแผ่นแก้ว (glass slide) ปิดด้วย cover slip นำมาส่องด้วยกล้องจุลทรรศน์ (optical microscope) ของ Nikon รุ่น Eclipse E600 POL (กำลังขยาย 100x) ตรวจสอบผลึก PLA บนพลาสติก (กรณีนี้จะเป็นข้อมูลที่ได้จากการทดลอง) จากนั้น ให้ความร้อนจนตัวอย่างหลอม (สูงกว่าอุณหภูมิหลอม) ทำให้เย็นตัวลงถึงอุณหภูมิที่ 127 °C ด้วยอัตรา 10 °C/นาที บน Linkam THMS 600 hot stage บันทึกผลตัวยกสั่งดิจิตอล (กรณีนี้จะเป็นข้อมูลการทดลองแบบ isothermal) สังเกตขนาดของสเฟียร์ไลท์

##### 2.2.4.2 เทคนิคสแกนนิ่งอิเลคตรอนไมโครสโคป (Scanning electron microscopy, SEM)

1. ชิ้นตัวอย่างที่ผ่านการทดสอบแรงกระแทก ถูกนำมาเคลือบผิวน้ำด้วยทอง 3 นาทีก่อนการวิเคราะห์

2. นำมาส่องคัวยกต้อง SEM (SEM, JEOL model JSM 6400) ที่มีค่า Acceleration voltage 20 kV
3. วิเคราะห์ขนาดอนุภาคของยางที่กระจายในพอดีแลกติกເອົ້າໂຄມືດຕໍ່ວຍ Computerized image analyzer และ Axio Vision software คำนวณหาขนาดอนุภาคเฉลี่ย โดยปริมาตร ( $D_v$ ) ตามสมการข้างล่างนี้

$$D_v = \frac{\sum_i f(D_i) V_i D_i}{\sum_i f(D_i) V_i} = \frac{\sum_i n_i D_i^4}{\sum_i n_i D_i^3} \quad (2.2)$$

โดยที่  $D_i$  แทน ขนาดเส้นผ่านศูนย์กลางของอนุภาค

$n_i$  แทน จำนวนอนุภาคทั้งหมดที่ขนาด  $D_i$

$V_i$  แทน ปริมาตรรวมทั้งหมดของอนุภาคที่ขนาด  $D_i$

### บทที่ ๓

#### ผลและการอภิปราย

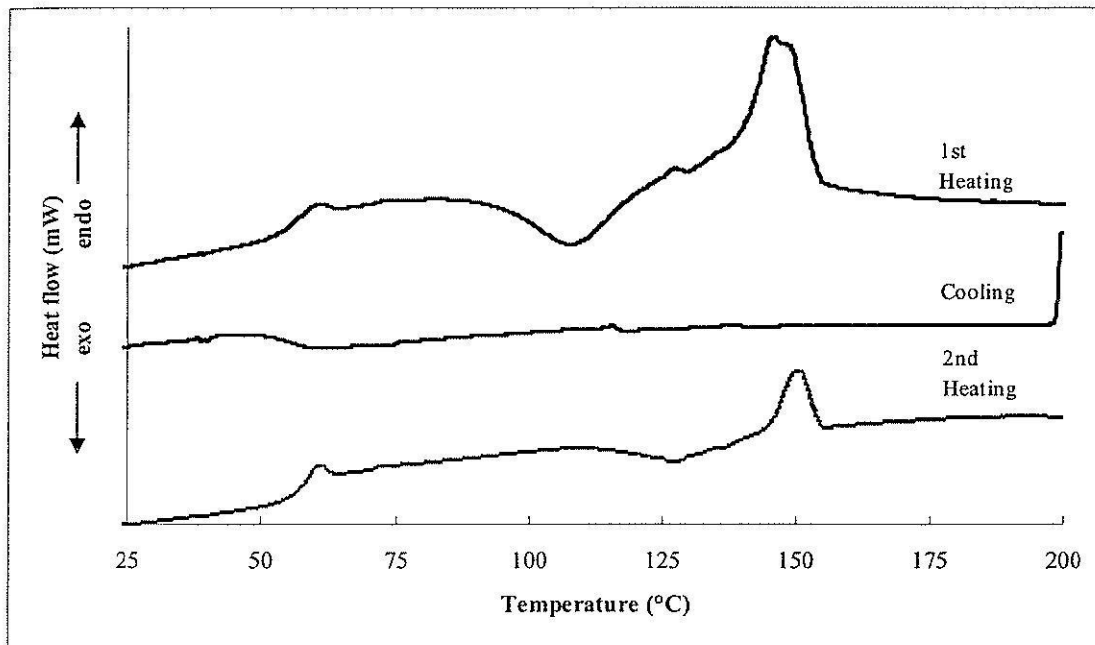
ในบทนี้ จะกล่าวถึงผลและการอภิปรายผลของการเติมสารก่อผลลัพธ์ในพอลิแลกติกแอซิด และพอลิเมอร์สมรรถนะว่า พอลิแลกติกแอซิดและยางธรรมชาติที่มีต่อสมบัติทางความร้อนและการเกิดผลลัพธ์ (ปริมาณผลลัพธ์ อุณหภูมิการเกิดผลลัพธ์แบบเย็น อุณหภูมิหลอม) สมบัติเชิงกล และสัมฐานวิทยา ตามลำดับ

##### 3.1 สมบัติทางความร้อนและการเกิดผลลัพธ์ (Thermal properties and crystallization)

จากการใช้เทคนิค DSC เพื่อศึกษาสมบัติทางความร้อนของ PLA ซึ่งได้จากการเตรียมผ่านกระบวนการกดอัด โดยใช้อัตราการให้ความร้อน  $10^{\circ}\text{C}/\text{min}$  (ซึ่งจัดเป็นสภาวะแบบ quiescent non-isothermal) ผลจากการให้ความร้อนครั้งที่ 1 (the first heating) แสดงในรูปที่ 3.1 จะเห็นอุณหภูมิเปลี่ยนสภาพเก้า (glass transition temperature,  $T_g$ ) อุณหภูมิการเกิดผลลัพธ์เมื่อให้ความร้อน (cold crystallization temperature,  $T_{cc}$ ) ซึ่งเป็นพีคคายพลังงาน(exothermic peak) และอุณหภูมิหลอม (melting temperature,  $T_m$ ) ซึ่งเป็นพีคคุณภาพ (endothermic peak) ที่  $55$ ,  $108$  และ  $145^{\circ}\text{C}$  ตามลำดับ เมื่อทำให้เย็น (cooling) ที่อัตราการทำให้เย็น  $10^{\circ}\text{C}/\text{min}$  กลับไม่พบอุณหภูมิการเกิดผลลัพธ์ (crystallization temperature,  $T_c$ ) แสดงให้เห็นว่า จากสภาวะหลอม เวลาที่จะเอื้อให้สายโซ่ไม่เลกุดของ PLA จัดเรียงตัวอย่างมีระเบียบเกิดเป็นผลลัพธ์ไม่เพียงพอที่อัตราการทำให้เย็นนี้ จากการวิจัยที่มีมาก่อน เมื่อใช้อัตราการทำให้เย็นน้อย ( $\leq 5^{\circ}\text{C}/\text{min}$ ) จะพบอุณหภูมิการเกิดผลลัพธ์<sup>18</sup> เมื่อให้ความร้อนครั้งที่ 2 พบ  $T_g$ ,  $T_{cc}$  และ  $T_m$  ที่อุณหภูมิ  $56$ ,  $127$  และ  $150^{\circ}\text{C}$  ตามลำดับ ซึ่งยืนยันว่า PLA เป็นพอลิเมอร์กึ่งผลลัพธ์

พฤติกรรมทางความร้อนของพอลิแลกติกแอซิด ขึ้นกับประวัติทางความร้อน (thermal history) ที่ได้รับอย่างมาก จากรูปที่ 3.1 จะเห็นได้ว่าด้วยจากขนาดและค่าของอุณหภูมิранสิชันต่าง ๆ การเปลี่ยนแปลงที่เกิดขึ้นเมื่อให้ความร้อนครั้งที่ 1 สามารถสะท้อนสภาวะการขึ้นรูป เมื่อให้ความร้อนจนหลอมแล้วทำให้เย็น สะท้อนความสามารถในการเกิดผลลัพธ์ภายใต้อัตราการทำให้เย็นจากสภาวะหลอมของพอลิแลกติกแอซิด เมื่อให้ความร้อนครั้งที่ 2 สะท้อนสมบัติภายใต้อัตราการทำให้เย็น

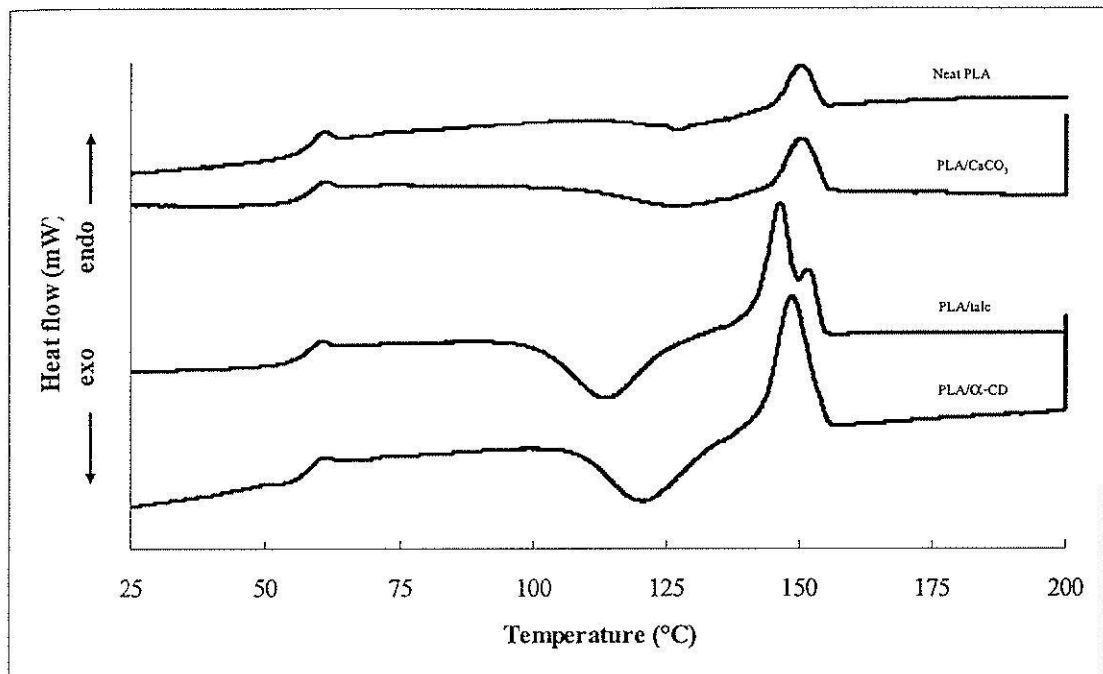
ความร้อนที่ใช้ จะเห็นได้ว่า พอลิแลกติกแอซิดแสดงพฤติกรรมแตกต่างกันภายใต้สภาวะความร้อนที่แตกต่างกัน ซึ่งจะกล่าวในรายละเอียดต่อไป



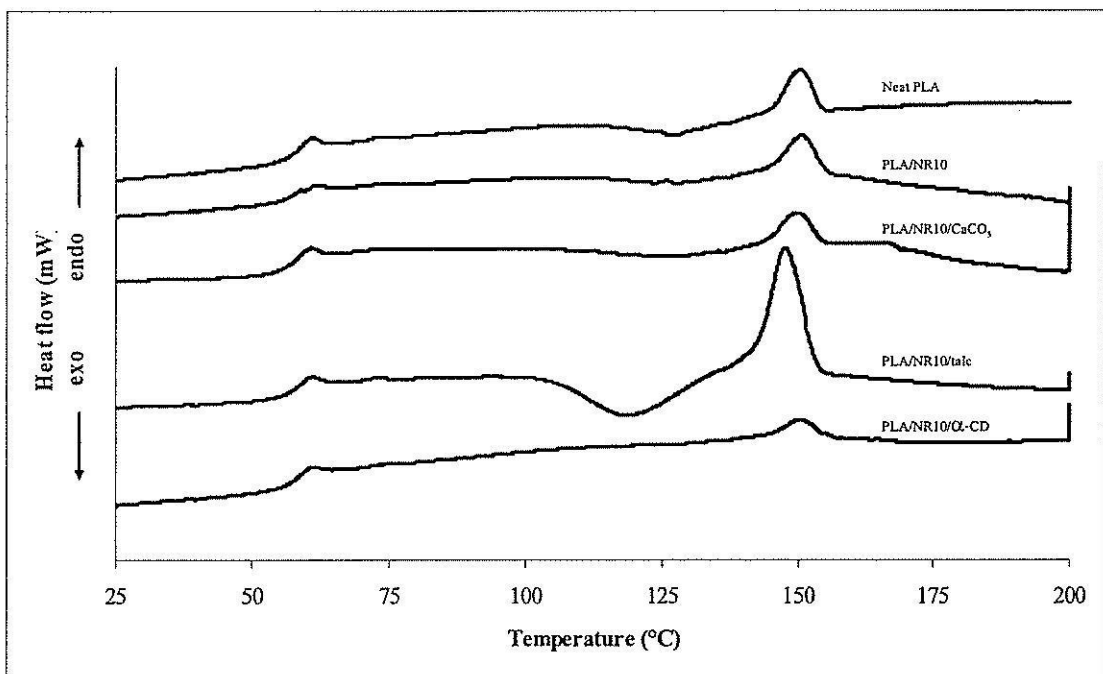
รูปที่ 3.1 เทอร์โมแกรม DSC ของ PLA ที่อัตราการให้ความร้อน หรืออัตราการทำให้เย็นเท่ากับ  $10^{\circ}\text{C}/\text{min}$

### 3.1.1 อุณหภูมิเปลี่ยนสภาพแก้ว (Glass transition temperature, $T_g$ )

อุณหภูมิเปลี่ยนสภาพแก้ว เป็นอุณหภูมิซึ่งสายโซ่ไม้เลกูลพอลิเมอร์เคลื่อนไหวทำให้พอลิเมอร์เปลี่ยนจากสภาพแก้ว (glassy state) เป็นสภาพยาง (rubbery state) จากเทอร์โมแกรม DSC ของ PLA เมื่อมีการเติมสารก่อผลึกทั้งสามชนิด คือ แคลเซียมคาร์บอนเนต ( $\text{CaCO}_3$ ) ทัลค์ (talc) และ  $\alpha$ -ไซโคลิเดกตริน ( $\alpha$ -CD) ดังรูปที่ 3.2 จะเห็นว่า  $T_g$  ของ PLA ไม่เปลี่ยนแปลง เปรียบเทียบกับกรณีที่ไม่มีการเติมสารก่อผลึก (neat PLA) จากงานวิจัยที่มีมาก่อน พบว่า ทั้งลักษณะและค่าอุณหภูมิ  $T_g$  นี้ไม่เปลี่ยนแปลงแม้ปริมาณพอลิเมอร์ของ PLA เพิ่มขึ้น<sup>18</sup> อาจกล่าวได้ว่า สารก่อผลึกไม่มีผลต่อ  $T_g$



รูปที่ 3.2 เทอร์โมแกรม DSC ของ PLA และ PLA ที่มีสารก่อผลึก 1% (โดยน้ำหนัก) เมื่อให้ความร้อนครั้งที่ 2 ที่อัตราการให้ความร้อนเท่ากับ  $10^{\circ}\text{C}/\text{min}$



รูปที่ 3.3 เทอร์โมแกรม DSC ของ PLA/NR ที่ไม่มีและมีสารก่อผลึก 1% (โดยน้ำหนัก) เมื่อให้ความร้อนครั้งที่ 2 ที่อัตราการให้ความร้อนเท่ากับ  $10^{\circ}\text{C}/\text{min}$

เทอร์โมแกรม DSC ของพอลิเมอร์ผสม PLA/NR ที่ไม่มีและมีสารก่อผลึก 1% (โดยน้ำหนัก) เมื่อให้ความร้อนครั้งที่ 2 ที่อัตราการให้ความร้อนเท่ากับ  $10^{\circ}\text{C}/\text{min}$  แสดงดังรูปที่ 3.3 ลังเกตเห็นว่า เมื่อผสมยางธรรมชาติรวมทั้งการเติมสารก่อผลึกทั้งสามชนิดไม่ส่งผลต่อ  $T_g$  ของ PLA เช่นกัน นอกเหนือจากนี้ พอลิเมอร์ผสมระหว่างพอลิแลคติกแอซิดกับยางธรรมชาตินี้เป็นพอลิเมอร์ผสมที่เข้ากันไม่ได้ (immiscible polymer blend)<sup>19</sup>

### 3.1.2 อุณหภูมิการเกิดผลึกเมื่อให้ความร้อน (cold crystallization temperature, $T_{cc}$ )

จากรูปที่ 3.2 จะเห็นอุณหภูมิการเกิดผลึกเมื่อให้ความร้อนของ PLA และ PLA ที่มีการเติมสารก่อผลึกชนิด  $\text{CaCO}_3$ , ทัลค์ และ  $\alpha$ -CD ที่อุณหภูมิ  $127.73$ ,  $128.05$ ,  $113.85$  และ  $120.60^{\circ}\text{C}$  ตามลำดับ จะเห็นว่า เมื่อใช้ทัลค์ และ  $\alpha$ -CD ทำให้  $T_{cc}$  ของ PLA ลดลง  $14$  และ  $7^{\circ}\text{C}$  ตามลำดับ แสดงว่า PLA สามารถเกิดผลึกได้เร็วขึ้น (ที่อุณหภูมิต่ำลง) การเติมสารก่อผลึกช่วยลด free energy barrier ทำให้เกิดนิวเคลียบสংจัยขึ้น กล่าวได้ว่า ทั้งทัลค์ และ  $\alpha$ -CD ทำหน้าที่เป็นสารก่อผลึกที่ดี

จากรูปที่ 3.3 กรณีพอลิเมอร์ผสม PLA/NR การผสมยางแทนไม่มีผลต่อการเกิดผลึกเมื่อให้ความร้อนของ PLA ยังคงเห็นพีคเอ็กโซเทอร์มิคขนาดเด็กและกว้างเหมือนที่พบใน PLA ขณะที่การเติมสารก่อผลึกทั้งสามให้ผลแตกต่างกัน ซึ่งค่า  $T_{cc}$  เหล่านี้ได้รวมรวมในตารางที่ 3.1 จากข้อมูล จะเห็นว่า เมื่อเติม  $\text{CaCO}_3$  และ  $\alpha$ -CD ใน PLA/NR จะให้ผลไกลส์เคียงกับเมื่อ PLA/NR ที่ไม่มีการเติมสารก่อผลึก ขณะที่เมื่อเติมทัลค์ จะเห็นพีคเอ็กโซเทอร์มิคขนาดใหญ่และ  $T_{cc}$  ลดลงเป็น  $118.06^{\circ}\text{C}$  บวกกว่า ทัลค์ช่วยทำให้เกิดผลึกเมื่อให้ความร้อนที่อุณหภูมิต่ำลงได้ภายในอัตราการให้ความร้อนนี้

### 3.1.3 อุณหภูมิหลอม (melting temperature, $T_m$ )

ในที่นี้ ค่าอุณหภูมิหลอมจะอ่านที่ตำแหน่งยอดพีคเออน ໂໂທეอร์มิค PLA แสดงค่า  $T_m$  ที่  $150.04^{\circ}\text{C}$  เมื่อเติมสารก่อผลึก พบว่า ค่าอุณหภูมิหลอมนี้เปลี่ยนแปลงไม่มาก โดยเมื่อใช้  $\text{CaCO}_3$  และ  $\alpha$ -CD ลักษณะของพีค  $T_m$  มีเพียงยอดเดียวเช่นเดียวกับ PLA ที่ไม่มีการเติมสารก่อผลึก (neat PLA) ดังแสดงในรูปที่ 3.2 ออย่างไรก็ตาม เมื่อใช้ talc ลักษณะของพีค  $T_m$  นี้เป็นสองยอด (double-peak) จากการวิจัยที่มีมาก่อน Sarasua และคณะ<sup>20</sup> ได้อธิบายถึงพีคสองยอดของ PLA ว่า ยอดที่อุณหภูมิต่ำกว่า ( $T_{m1}$  ในตารางที่ 3.1) เป็นของพลีกที่มีความเป็นระเบียบน้อยกว่ายอดที่อุณหภูมิสูงกว่า ( $T_{m2}$ ) ซึ่ง

เมื่อได้รับความร้อน พลีกที่มีความเป็นระเบียนน้อยกว่าจะเกิดการจัดเรียงตัวใหม่ที่มีระเบียบสูงขึ้น และเกิดการหลอมที่อุณหภูมิสูงขึ้นในที่สุด Zhang และคณะ<sup>21</sup> ศึกษาพบว่า จริงแล้ว โครงสร้างพลีกที่อุณหภูมิหลอมต่ำกว่า (เรียก  $\alpha'$  form) และโครงสร้างพลีกที่อุณหภูมิหลอมสูงกว่า (เรียก  $\alpha$  form) มีโครงสร้างพลีกรูปแบบเดียวกันแต่ต่างกันเพียงความหนาของชั้นพลีก (lamellar thickness) เท่านั้น

**ตารางที่ 3.1 สมบัติทางความร้อนของ PLA และ PLA/NR ที่เติมและไม่เติมสารก่อผลึกภายในให้กับความร้อนครั้งที่ 2**

Samples	T <sub>g</sub> (C°)	T <sub>cc</sub> (C°)	T <sub>m1</sub> (C°)	T <sub>m2</sub> (C°)	X <sub>c</sub> (%)
Neat PLA	56.44	127.73	NA	150.04	18.63
PLA/CaCO <sub>3</sub>	56.82	128.05	NA	150.26	26.30
PLA/talc	56.25	113.85	146.28	152.13	68.55
PLA/CD	57.39	120.60	NA	148.49	66.30
PLA/NR10	56.38	127.70	NA	150.55	14.32
PLA/NR10/CaCO <sub>3</sub>	56.68	126.86	NA	149.63	16.05
PLA/NR10/talc	56.85	118.06	147.59	NA	60.47
PLA/NR10/CD	56.71	127.08	NA	150.12	6.37

กรณีพอลิเมอร์ผสม พบว่า การเติมยางไม่ส่งผลต่ออุณหภูมิหลอมของ PLA (เส้นกราฟ PLA/NR ในรูปที่ 3.3) เช่นกัน เมื่อเติม CaCO<sub>3</sub> และ  $\alpha$ -CD ใน PLA/NR จะให้ผลของ T<sub>m</sub> ใกล้เคียงกับเมื่อ PLA/NR ที่ไม่มีการเติมสารก่อผลึกเช่นเดียวกับ PLA (neat PLA) ขณะที่เมื่อเติมทั้ก็ จะพบ T<sub>m</sub> ที่อุณหภูมิต่ำกว่ากรณีพอลิเมอร์ผสมอื่น ๆ และค่าใกล้เคียงกับ T<sub>m1</sub> แสดงว่า ทั้กซึ่งทำให้เกิดพลีก แต่พลีกที่ได้มีความเป็นระเบียนสมบูรณ์น้อย ซึ่งสอดคล้องกับผลที่ได้ในกรณีเมื่อเติมทั้กคงใน PLA เช่นกัน

### 3.1.4 ปริมาณผลึก (Degree of crystallinity, %X<sub>c</sub>)

จากเทอร์โมแกรม DSC ดังรูปที่ 3.2 สามารถคำนวณหาปริมาณผลึกของ PLA (neat PLA) ได้ตามสมการที่ 2.1 และรวมรวมในตารางที่ 3.1 ซึ่งมีค่าเท่ากับ 18.63% เมื่อเติมสารก่อผลึกชนิด CaCO<sub>3</sub>, ทั้ก และ  $\alpha$ -CD พบว่า ปริมาณผลึกของ PLA เพิ่มขึ้นเป็น 26.30, 68.55 และ 66.30%

ตามลำดับ จะเห็นได้ว่า การใช้ talc และ  $\alpha$ -CD ช่วยเพิ่มปริมาณพลาสติกของ PLA ถึง 50% จัดได้ว่าสารก่อผลึกหั้งสองมีประสิทธิภาพในการเพิ่มปริมาณพลาสติกอย่างมีนัยสำคัญ

เมื่อทดสอบยางธรรมชาติงาน PLA ทำให้ปริมาณพลาสติกของ PLA ลดลงเล็กน้อย ดังรวมรวมในตารางที่ 3.1 เป็นไปได้ว่ายางอาจขัดขวางการเคลื่อนไหวของสายโซ่ PLA ซึ่ง Fanges และคณะ<sup>22</sup> พบว่า การเติมยางทำให้ปริมาณพลาสติกของพอลิโพร์พลีนลดลงเล็กน้อยเช่นกัน เมื่อเติมสารก่อผลึกชนิด  $\text{CaCO}_3$  ปริมาณพลาสติกของ PLA เพิ่มขึ้นเพียงเล็กน้อยเท่านั้น อาจกล่าวได้ว่า  $\text{CaCO}_3$  เป็นสารก่อผลึกที่มีประสิทธิภาพน้อยสำหรับ PLA เมื่อใช้ทัลค์พบปริมาณพลาสติกใน PLA/NR สูงถึง 60.47% ลดลงถ่องถักที่ได้เมื่อเติมทัลค์ใน PLA อย่างไรก็ตาม เมื่อใช้  $\alpha$ -CD ปริมาณพลาสติกใน PLA/NR ลดลงอย่างมาก เหลือเพียง 6.37% จากผลที่ได้นี้ มีความเป็นไปได้ว่าภายในยางธรรมชาติตามากกว่าในพอลิแลกติกแอซิด กับยางธรรมชาติ  $\alpha$ -CD มีความชอบที่จะกระจายตัวในยางธรรมชาติตามากกว่าในพอลิแลกติกแอซิด หรืออาจถูกถอดถอนด้วยยางธรรมชาติ ทำให้ไม่สามารถทำหน้าที่ก่อผลึกได้

เทอร์โมแกรม DSC ดังรูปที่ 3.2 ได้จากการให้ความร้อนครั้งที่ 2 ซึ่งชี้ตัวอย่าง PLA ได้ผ่านการหลอมในขั้นการให้ความร้อนครั้งที่ 1 ซึ่งเป็นการลบประวัติทางความร้อนของ PLA เมื่อผ่านกระบวนการขึ้นรูปด้วยการกดอัด ดังนั้น ปริมาณพลาสติกที่ได้จะไม่แสดงถึงผลอันเกิดจากการขึ้นรูปอาศัยพล DSC ภายใต้การให้ความร้อนครั้งที่ 1 จะทำให้รูปริมาณพลาสติกที่เกิดขึ้นในกระบวนการกดอัดได้ ซึ่งได้รวมรวมไว้ในตารางที่ 3.2 จะเห็นว่า สารก่อผลึกหั้งสามชนิดช่วยเพิ่มปริมาณพลาสติกของ PLA อย่างมาก และขณะให้ความร้อนในการทดสอบด้วย DSC ไม่มีผลึกเกิดขึ้นอีก (ไม่พบ  $T_{\text{m}}$  สำหรับกรณีของ  $\alpha$ -CD ถือว่า ค่า  $\Delta H_{\text{c}}$  น้อยมาก) กล่าวได้ว่า เมื่อเติมสารก่อผลึก พลาสติกสามารถเกิดขึ้นได้ในปริมาณมากภายใต้กระบวนการกดอัดที่ใช้ แตกต่างจากเมื่อไม่เติมสารก่อผลึก จากการคำนวณปริมาณพลาสติกโดยใช้สมการที่ 2.1  $\text{CaCO}_3$  ให้ปริมาณพลาสติกสูงที่สุด จากผลที่ได้นี้ ซึ่งให้เห็นว่า กระบวนการทำให้เย็นส่งผลต่อการเกิดผลึกของ PLA และสารก่อผลึกช่วยการเกิดผลึกอย่างมาก

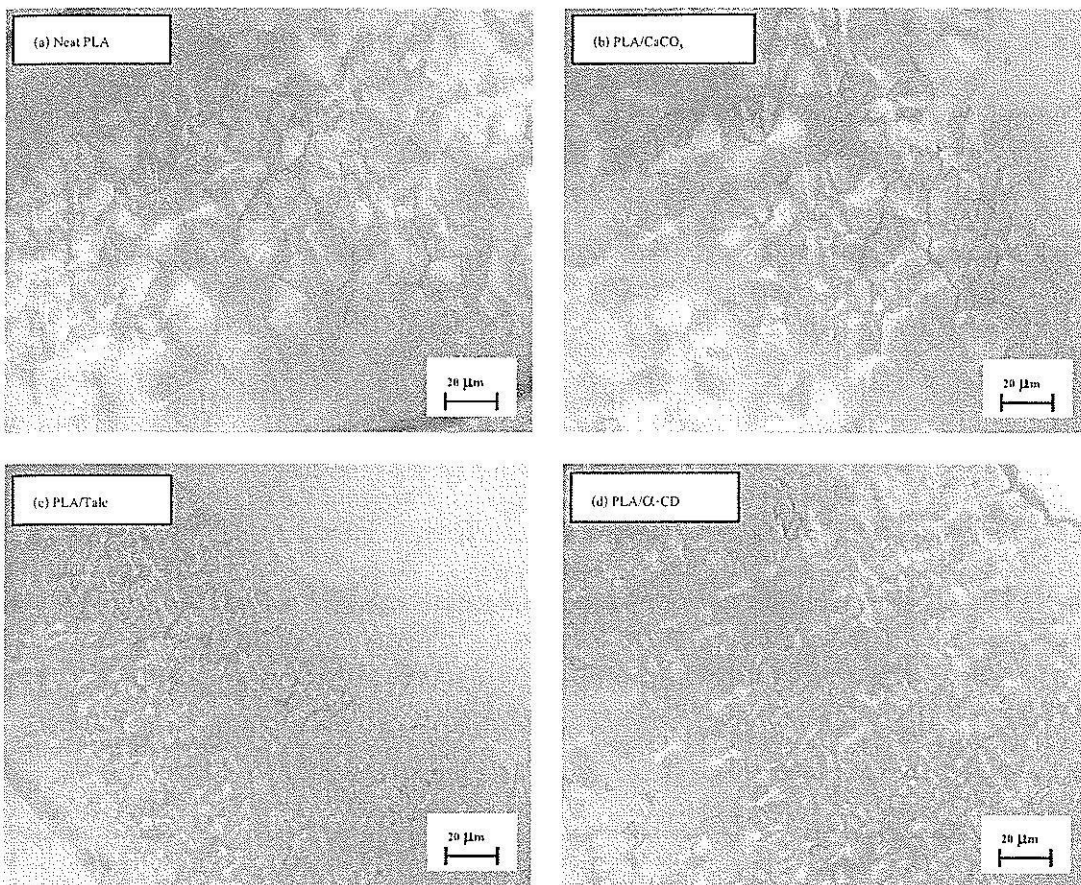
ทำงานองค์ประกอบ สำหรับพอลิเมอร์ผสม PLA/NR อาศัยพล DSC ภายใต้การให้ความร้อนครั้งที่ 1 ทำให้รูปริมาณพลาสติกที่เกิดขึ้นในพอลิเมอร์ผสมภายใต้กระบวนการกดอัดได้ ดังรวมรวมในตารางที่ 3.2 พบว่า ยางช่วยเพิ่มปริมาณพลาสติกได้ และเมื่อเติมทัลค์และ  $\text{CaCO}_3$  จะช่วยทำให้ปริมาณพลาสติกในพอลิเมอร์ผสมสูงขึ้นอีก แต่เมื่อใช้  $\alpha$ -CD กลับลดปริมาณพลาสติกลง น่าจะเกิดจากการกระจายตัวของ  $\alpha$ -CD ในยางหรือถูกถอดถอนด้วยยางดังที่กล่าวแล้วก่อนหน้านี้

ตารางที่ 3.2 สมบัติทางความร้อนของ PLA และ PLA/NR ที่เติมและไม่เติมสารก่อผลึกภายในให้ความร้อนครั้งที่ 1

Samples	$\Delta H_m$ (J/g)	$\Delta H_{cc}$ (J/g)	$(\Delta H_m - \Delta H_{cc})$ (J/g)	$x_c$ (%)
Neat PLA	37.36	-28.14	9.22	9.91
PLA/CaCO <sub>3</sub>	57.44	0.00	57.44	61.76
PLA/talc	44.03	0.00	44.03	47.34
PLA/ $\alpha$ -CD	32.96	-0.73	32.23	34.66
PLA/NR10	31.61	-15.12	16.49	19.70
PLA/NR10/CaCO <sub>3</sub>	28.65	-4.22	24.43	29.19
PLA/NR10/talc	26.68	-3.88	22.80	27.24
PLA/NR10/ $\alpha$ -CD	25.56	-11.21	14.35	17.14

### 3.1.5 โครงสร้างสเฟียร์ไลท์ (Spherulite structure)

เมื่อใช้กล้องจุลทรรศน์แบบแสงโพลาไรท์ (Polarized light optical microscope) ส่องดูพบว่า เมอร์กั่งผลึก จะพบโครงสร้างสเฟียร์ไลท์ ซึ่งกระบวนการเกิดผลึกและการใช้สารก่อผลึกจะส่งผลโดยตรงต่อขนาดของสเฟียร์ไลท์ โดยทั่วไป เมื่อกระบวนการเกิดผลึกทำที่อุณหภูมิต่ำๆ และ/หรือมีการใช้สารก่อผลึก จะทำให้ได้สเฟียร์ไลท์ที่มีขนาดเล็ก รูปที่ 3.4 แสดงภาพของ PLA ที่ไม่มีและมีการเติมสารก่อผลึกเมื่อส่องด้วยกล้องจุลทรรศน์แบบแสงโพลาไรท์ โดยการหลอม PLA แล้วทิ้งให้เกิดผลึกที่อุณหภูมิ 127 °C พนว่า ขนาดเส้นผ่านศูนย์กลางของสเฟียร์ไลท์โดยเฉลี่ยของ PLA มีค่าประมาณ 40 ไมครอน (ดังรูป 3.4a) เมื่อเติมสารก่อผลึกทั้งสามชนิด จำนวนของสเฟียร์ไลท์เพิ่มขึ้นโดยขนาดเส้นผ่านศูนย์กลางของสเฟียร์ไลท์เล็กลงอย่างเห็นได้ชัด เมื่อพอดีเมอร์หลอมถูกทำให้เย็นลงโดยมีสารก่อผลึกอยู่ สารก่อผลึกจะช่วยทำหน้าที่เสริม่อนนิวนิวเคลียสให้ผลึกของพอลิเมอร์เกิดการเติบโตขึ้นได้ ซึ่งการเติบโตนี้จะช่วยให้ขนาดของสเฟียร์ไลท์ที่สุดอยู่ที่ประมาณ 10 ไมครอน ทำให้ได้สเฟียร์ไลท์ที่มีขนาดเล็กลง ในที่นี้ หัตถ์ให้สเฟียร์ไลท์ที่มีขนาดเล็กที่สุดอยู่ที่ประมาณ 10 ไมครอน



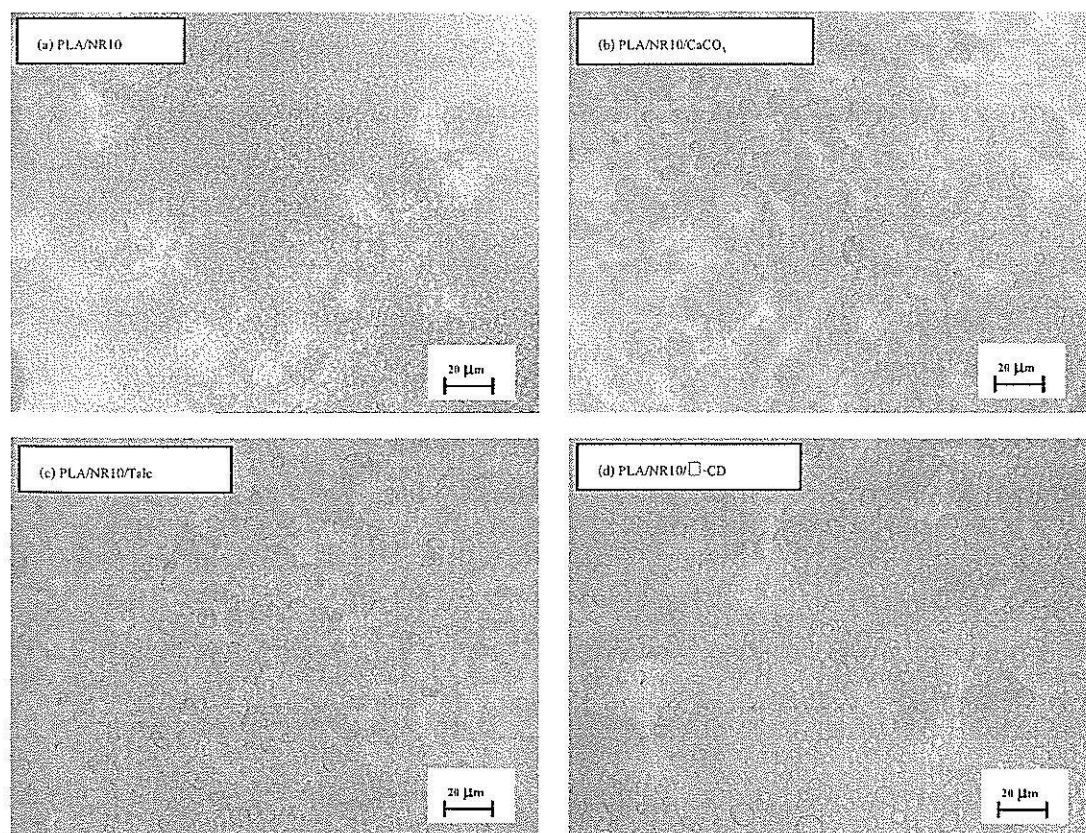
รูปที่ 3.4 ภาพของ PLA ที่ไม่มีและมีสารก่อผลึกเมื่อส่องด้วยกล้องจุลทรรศน์แบบแสงโพลาไรซ์

รูปที่ 3.5a แสดงภาพของ PLA/NR ที่ไม่มีสารก่อผลึกเมื่อส่องด้วยกล้องจุลทรรศน์แบบแสงโพลาไรซ์ จะเห็นทั้งอนุภาคของยางและโครงสร้างสเปียร์ไลท์ของ PLA โดยขนาดของสเปียร์ไลท์ จะใกล้เคียงกับที่พบใน PLA ที่ไม่มีการผสมยางธรรมชาติ (รูปที่ 3.4a) อาจช่วยยืนยันได้ว่า ยางธรรมชาติที่ผสมแทนไม่นับหนาทต่อกระบวนการเกิดผลึกของพอลิเมอร์ติกแอกซิค เมื่อเติม  $\text{CaCO}_3$  และทัลค์ในพอลิเมอร์ผสม ทำให้ขนาดของสเปียร์ไลท์ลดลง (รูปที่ 3.4b-c) ขณะที่เมื่อเติม  $\alpha\text{-CD}$  ขนาดของสเปียร์ไลท์ใหญ่กว่าเมื่อไม่เติมสารก่อผลึก (รูปที่ 3.4d) สอดคล้องกับผลก่อนหน้านี้ ที่  $\alpha\text{-CD}$  ไม่สามารถทำหน้าที่สารก่อผลึกในพอลิเมอร์ผสมนี้ได้

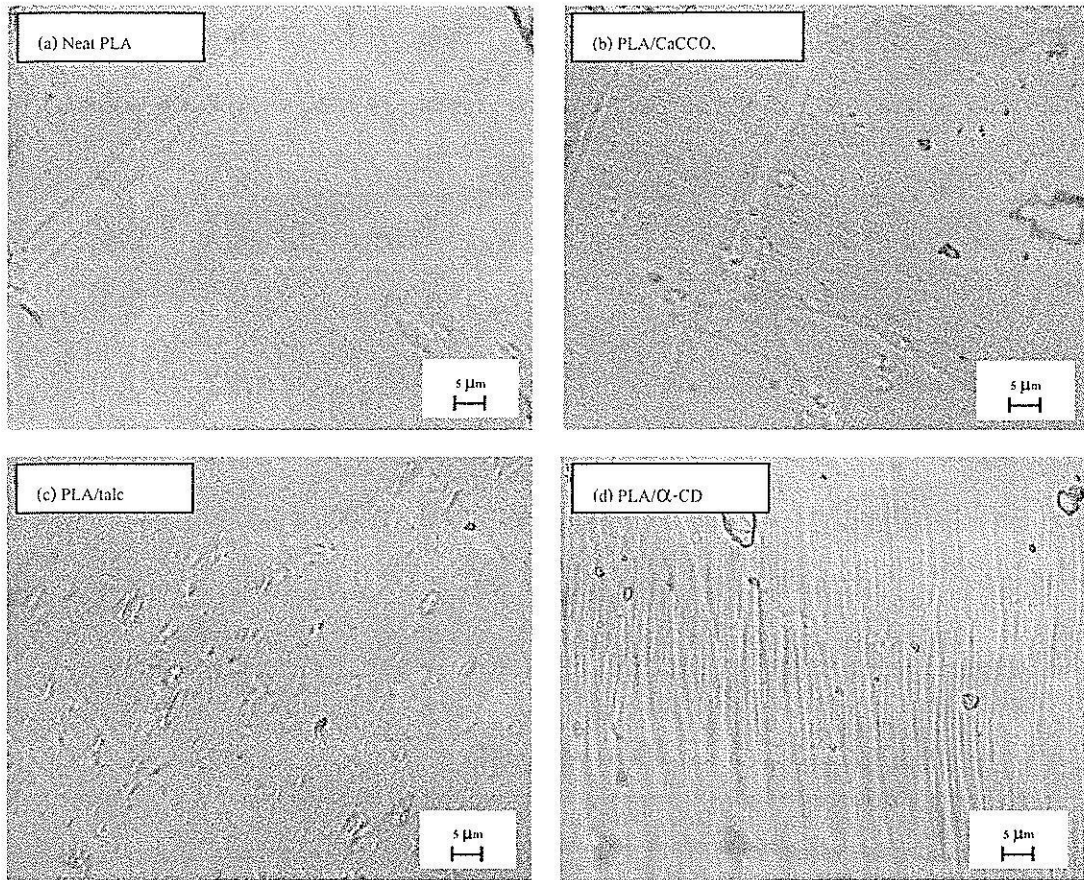
ในการทำนายเดียวกันกับปริมาณพลีก การเกิดผลึกที่อุณหภูมิ  $127^\circ\text{C}$  ภายหลังการหลอม อาจไม่แสดงถึงโครงสร้างสเปียร์ไลท์ที่ได้จากการขึ้นรูปด้วยกระบวนการกดอัด และอาจไม่สัมพันธ์กับสมบัติเชิงกลที่ได้จริง รูปที่ 3.6 แสดงภาพของ PLA ที่ไม่มีและมีการเติมสารก่อผลึกที่ตัดเป็นพิล์มบางจากชิ้นงานที่ผ่านการทดสอบการแตกหักเมื่อส่องด้วยกล้องจุลทรรศน์แบบแสงโพลาไรซ์ จะเห็นโครงสร้างสเปียร์ไลท์ของ PLA ที่มีขนาดเส้นผ่านศูนย์กลางประมาณ 5 ไมครอน (รูป 3.6a) ซึ่ง

เล็กกว่าขนาดสเปียร์โลที่ได้จากการเกิดผลึกที่อุณหภูมิ  $127^{\circ}\text{C}$  (รูปที่ 3.4a) เป็นอย่างมาก เมื่อคืนสารก่อผลึกขนาดสเปียร์โลที่ยังเล็กคง มีขนาดประมาณ 2-3 ไมครอนเท่านั้น (รูป 3.6b-d) โดยทั่วไปขนาดสเปียร์โลที่เล็ก จะทำให้พอลิเมอร์มีความเหนียว (tough) สูงกว่าขนาดสเปียร์โลทใหญ่<sup>23</sup> สำหรับพอลิเมอร์ผสม PLA/NR เมื่อตัดเป็นฟิล์มบาง เมื่อนำมาส่อง ไม่สามารถเห็นโครงสร้างสเปียร์โลท (จึงไม่ได้นำมาแสดงที่นี่)

ความแตกต่างของขนาดของสเปียร์โลทที่ได้มีอิทธิพลต่อการใช้สารก่อผลึกทั้งสามที่ปริมาณโดยน้ำหนักคงที่นี้ ไม่อาจกล่าวได้ว่าเป็นผลจากขนาดของสารก่อผลึก แต่เป็นผลจากหลายตัวแปรของสารก่อผลึกรวมกัน คือ ปริมาณโดยปริมาตร (ความหนาแน่นที่ต่างกัน) ขนาดอนุภาคและพลังงานพื้นผิว (ชนิด) ของสารก่อผลึก ในทางกลับกัน จากผลสมบัติเชิงกลที่แตกต่างกันน้อยมาก (ที่จะกล่าวถึงต่อไป) อาจเป็นข้อมูลที่ใช้ในการกำหนดช่วงขนาดของสเปียร์โลทและปริมาณผลึกที่จะสัมพันธ์ต่อการเปลี่ยนแปลงสมบัติเชิงกลได้



รูปที่ 3.5 แสดงภาพของ PLA/NR ที่ไม่มีและมีสารก่อผลึกเมื่อส่องด้วยกล้องจุลทรรศน์แบบแสงโพลาไรท์



รูปที่ 3.6 แสดงภาพของ PLA ที่ไม่มีและมีการเติมสารก่อฟลักที่ตัดเป็นฟลั่มนบางจากชิ้นงานที่ผ่านการทดสอบการแตกหักเมื่อส่องด้วยกล้องอุลตรารคน์แบบแสงโพลาไรซ์

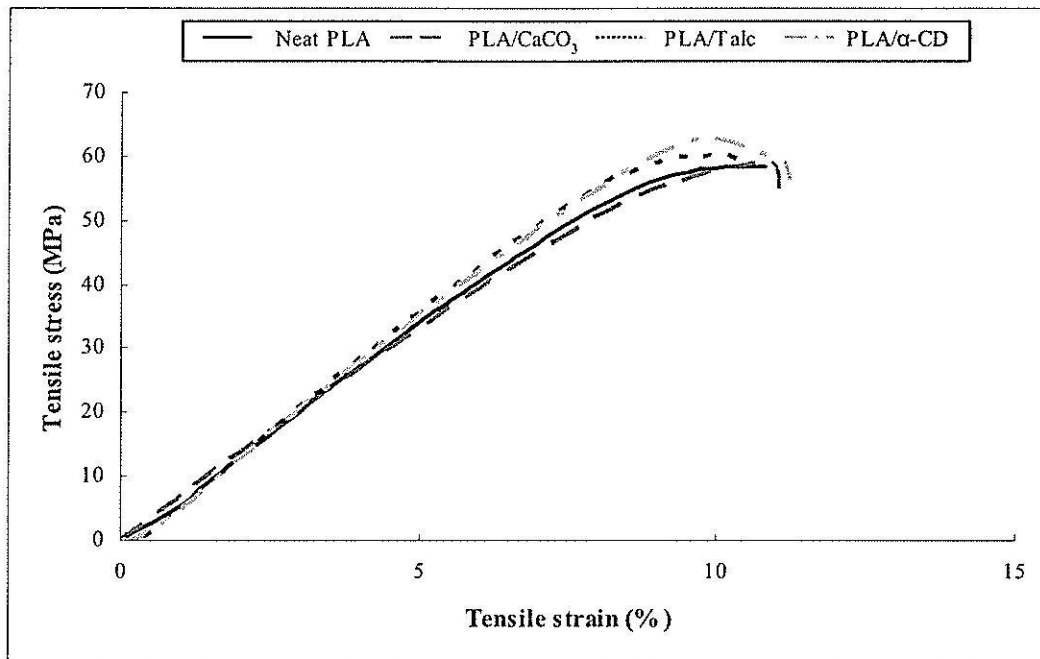
### 3.2 สมบัติเชิงกล (Mechanical properties)

สมบัติเชิงกลของ PLA ที่ไม่มีและมีการเติมสารก่อฟลัก อาศัยการทดสอบการดึงและการทนต่อแรงกระแทก เมื่อจาก PLA มีข้อด้อยเรื่องความเปราะ ดังนี้ งานวิจัยนี้จึงศึกษาสมบัติเชิงกลที่บ่งบอกถึงความเหนียว

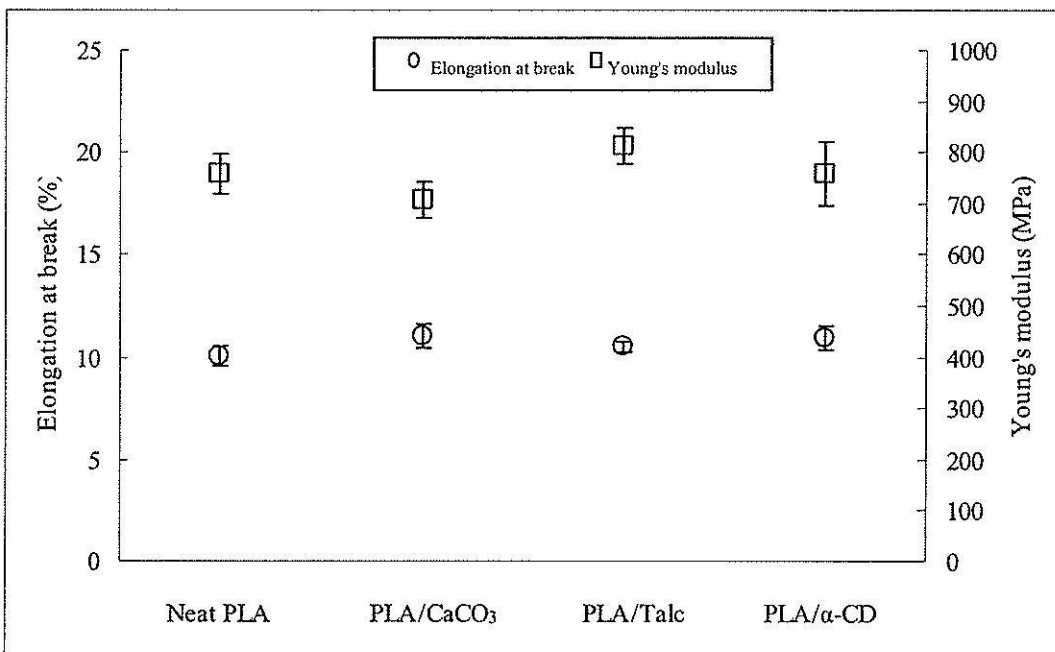
#### 3.2.1 ค่าระยะยืดที่จุดขาดและยั้งก้มอคูลัส (Elongation at break and Young's modulus)

จากการทดสอบการดึง ความสัมพันธ์ระหว่างความดันและความเดินและความเครียด (stress-strain curve) ของ PLA ที่ไม่มีและมีการเติมสารก่อฟลักแสดงดังรูปที่ 3.7 จะเห็นว่า ความเดิน-ความเครียดที่ได้ไม่แตกต่างกัน PLA มีค่าระยะยืดที่จุดขาดที่ประมาณ 10% และคำนวณหา>yั้งก้มอคูลัสได้ที่ 758 MPa ซึ่งค่าเหล่านี้เมื่อมีการเติมสารก่อฟลักแสดงในรูปที่ 3.8 ซึ่งแตกต่างจาก PLA เพียงเล็กน้อยเท่านั้น

จากการวิจัยที่มีมาก่อน Li and Huneault<sup>24</sup> พบว่า เมื่อใช้ talc เป็นสารก่อผลึกให้กับ PLA ช่วยเพิ่มปริมาณผลึก ลดค่าการดึงที่จุดขาด และเพิ่มค่ายังก์มอดูลัส

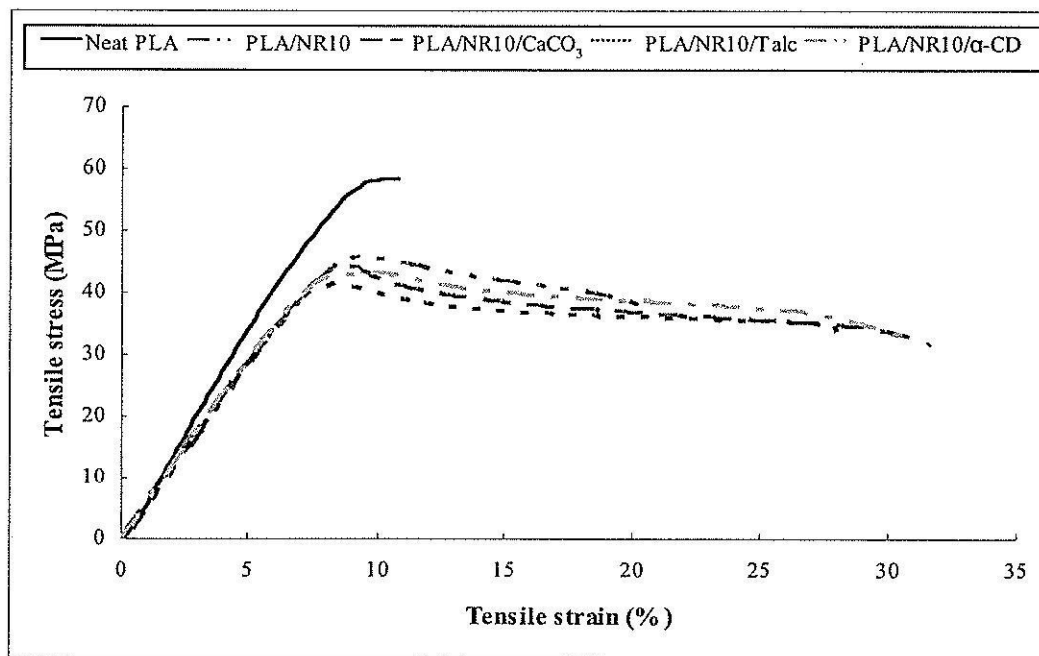


รูปที่ 3.7 ความเด่น-ความเครียดของ PLA ที่ไม่มีและมีการเติมสารก่อผลึก

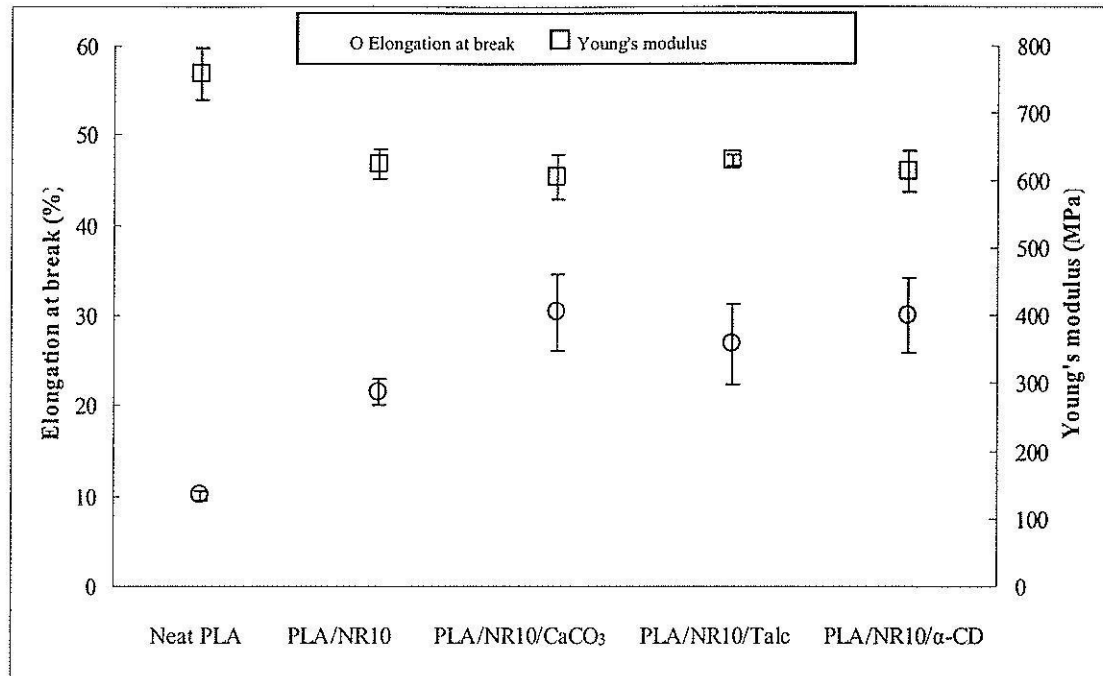


รูปที่ 3.8 ค่าระยะยืดที่จุดขาดและยังก์มอดูลัสของ PLA ที่ไม่มีและมีการเติมสารก่อผลึก

กราฟความกึ่น-ความเครียดของพอลิเมอร์สม PLA/NR ที่ไม่มีและมีการเติมสารก่อผลึกแสดงดังรูปที่ 3.9 จะเห็นว่า การเติมยางทำให้พอลิเมอร์สมคงอีดีสูงขึ้น โดยความแข็ง (ยังก์มอคุลัส) มีค่าลดลงเพียงเล็กน้อย เนื่องจากสมบัติที่โดดเด่นของยางธรรมชาติ คือ มีความยืดหยุ่นและความเหนียวสูงนั่นเอง ค่าระยะยืดที่จุดขาดและยังก์มอคุลัสของ PLA/NR ต่าง ๆ ได้รวมรวมแสดงในรูปที่ 3.10 จะเห็นได้ชัดว่า เมื่อเติมสารก่อผลึกจะช่วยเพิ่มระยะยืดที่จุดขาด ส่วนค่ายก์มอคุลัสไม่ค่าไม่แตกต่างจากเมื่อไม่เติม จริงแล้ว การเติมสารก่อผลึกลงในพอลิเมอร์สมระหว่างพอลิเมอร์กึ่งผลึกและยาง นอกจากจุดประสงค์เพื่อช่วยการเกิดผลึกแล้ว ยังประสงค์ให้ช่วยเพิ่มความแข็ง (มอคุลัส) ที่พอลิเมอร์กึ่งผลึกมักจะสูญเสียไปเมื่อเติมยาง ในกรณีของ PLA/NR นี้ สารก่อผลึกทั้งสามนี้ ไม่สามารถเพิ่มค่ามอคุลัสได้



รูปที่ 3.9 ความกึ่น-ความเครียดของ PLA/NR ที่ไม่มีและมีการเติมสารก่อผลึก

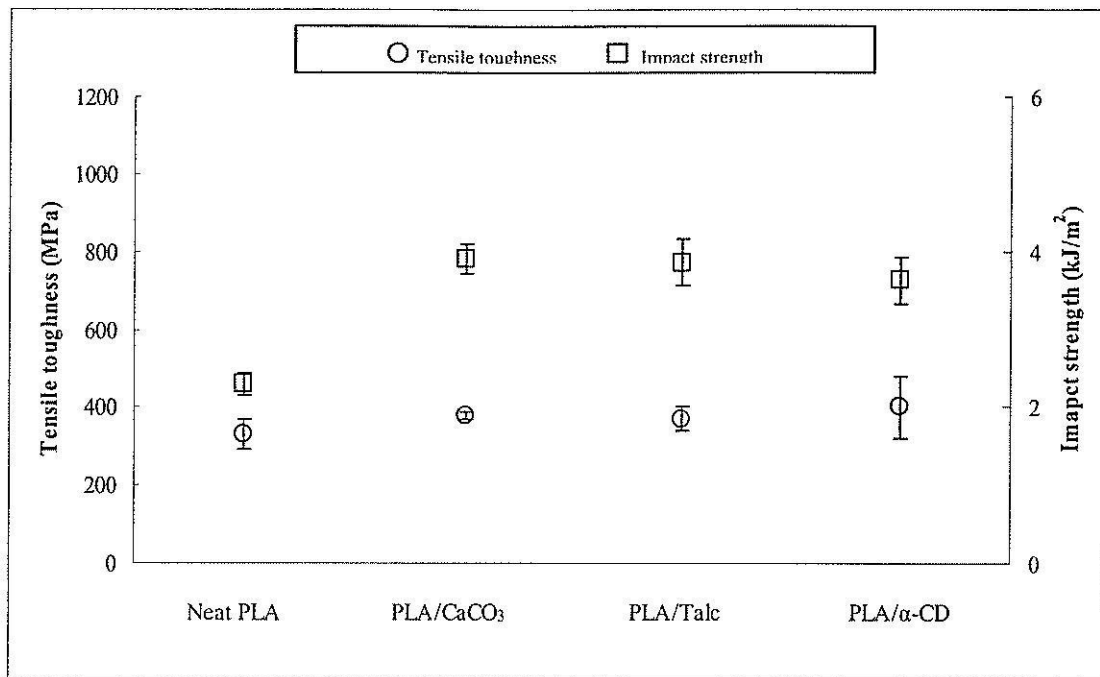


รูปที่ 3.10 ค่าระยะยืดที่จุดขาดและยังคงอุดลักษณะ PLA/NR ที่ไม่มีและมีการเติมสารก่อผลึก

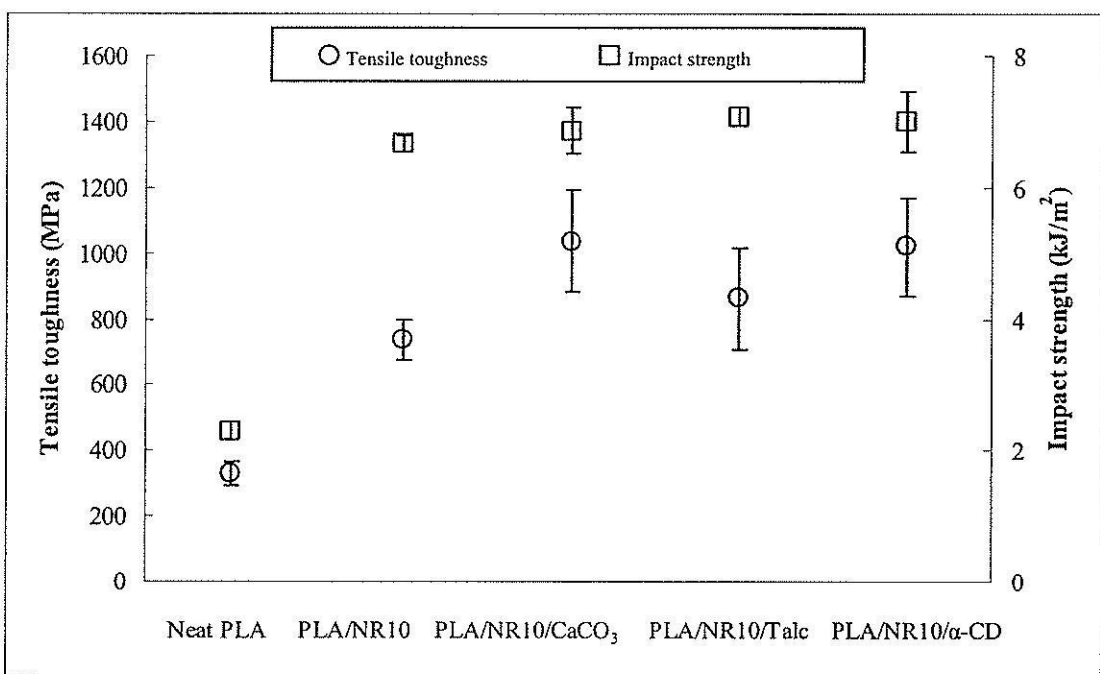
### 3.2.2 ค่าความหนึบยืดแบบแรงดึงและแบบแรงกระแทก (Tensile and impact toughness)

ความหนึบยืดแบบแรงดึงคำนวณจากพื้นที่ได้กราฟระหว่างความเค้น-ความเครียด (รูปที่ 3.7) ส่วนความหนึบยืดแบบแรงกระแทกจะใช้ชิ้นงานที่มีการ notched ซึ่งค่าความหนึบยืดหักส่องแบบของ PLA ที่ไม่มีและมีการเติมสารก่อผลึก แสดงในรูปที่ 3.11 ซึ่งจะเห็นได้ว่า การเติมสารก่อผลึกแบบไม่ส่งผลกระทบต่อความหนึบยืดแบบแรงดึง ขณะที่การเติมสารก่อผลึกช่วยเพิ่มความหนึบยืดแบบแรงกระแทก

ความหนึบยืดแบบแรงดึงและความหนึบยืดแบบแรงกระแทก เป็นความหนึบยืดที่ได้จากการทดสอบที่อัตราความเครียด (strain rate) ที่แตกต่างกัน แบบแรงดึงทำที่อัตราความเครียดค่า (ความเร็วในการดึง 1 mm/min) ขณะที่แบบแรงกระแทกทำที่อัตราความเครียดสูง ซึ่งข้อมูลที่ได้จากการทดสอบหักส่องหมายเหตุการนำมาราชีประโภชน์แตกต่างกัน สถาบันไอล์ฟิกจากกระบวนการรวมตัวเป็นชั้นของ lamellar crystal ซึ่งต่อเชื่อมกันด้วย tie molecules เมื่อขนาดของสถาบันไอล์ฟิก จะทำให้มีจำนวน tie molecules มาก ส่งผลให้ผลิตเมอร์นั้นมีความหนึบยืดสูง<sup>25,26</sup> กล่าวได้ว่า ขนาดของสถาบันไอล์ฟิกจะช่วยลดชั้นพลังงานจากการกระแทกได้ดี หากหัวข้อก่อนหน้านี้ พบว่า สารก่อผลึกช่วยเพิ่มปริมาณผลึกและลดขนาดของสถาบันไอล์ฟิก ซึ่งสอดคล้องกับผลความหนึบยืดแบบแรงกระแทกที่ได้



รูปที่ 3.11 ความหนืดยืดแบบแรงดึง (สัญลักษณ์วงกลม) และแบบแรงกระแทก (สัญลักษณ์สี่เหลี่ยม) ของ PLA ที่ไม่มีและการเติมสารก่อผลึก



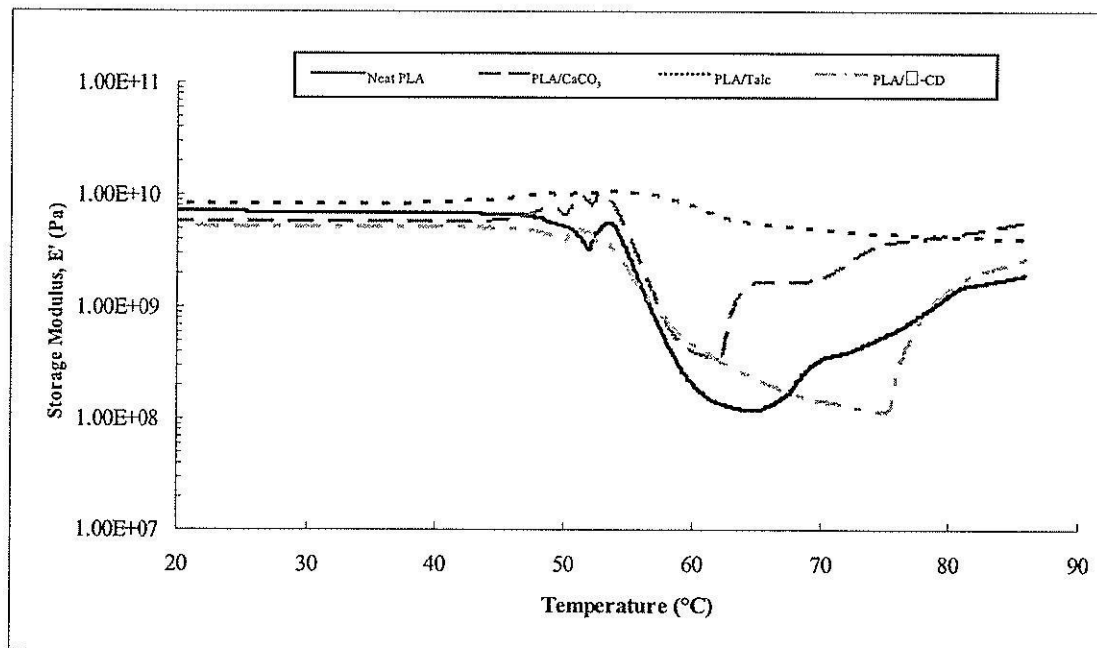
รูปที่ 3.12 ความหนืดยืดแบบแรงดึง (สัญลักษณ์วงกลม) และแบบแรงกระแทก (สัญลักษณ์สี่เหลี่ยม) ของ PLA/NR ที่ไม่มีและการเติมสารก่อผลึก

ความหนึบยวแบบแรงดึงคำนวณจากพื้นที่ได้กราฟระหว่างความเห็น-ความเครียด (รูปที่ 3.9) ส่วนความหนึบยวแบบแรงกระแทกจะใช้ชิ้นงานที่มีการ notched ซึ่งค่าความหนึบยวทั้งสองแบบของ PLA/NR ที่ไม่มีและมีการเติมสารก่อผลึก แสดงในรูปที่ 3.12 ซึ่งจะเห็นได้ว่า การสมย่างช่วยเพิ่มความหนึบยวทั้งสองแบบอย่างมาก การเติมสารก่อผลึกลงในพอลิเมอร์ผสมยังช่วยเพิ่มความหนึบยวแบบแรงดึง ขณะที่ไม่ส่งผลกระทบต่อความหนึบยวแบบแรงกระแทก กล่าวได้ว่า ย่างธรรมชาติที่พัฒนาในพอลิแลกติกแอซิดมีบทบาทอย่างมากต่อสมบัติด้านความหนึบยว

### 3.2.3 สมบัติเชิงกลพลวติ (Dynamic mechanical properties)

ในการทดสอบสมบัติเชิงกลพลวตินี้ สามารถให้ข้อมูลที่เป็นประโยชน์ทางด้านความร้อน และเชิงกล จะให้ค่าอุณหภูมิเปลี่ยนสภาพแก่ ค่ามอดูลัส静态 (storage modulus,  $E'$ ) ซึ่งบ่งบอกความแข็งของวัสดุ และ loss tangent ( $\tan \delta$ ) ซึ่งบ่งบอกการเคลื่อนไหวของสายโซ่ไมโครพอลิเมอร์ได้

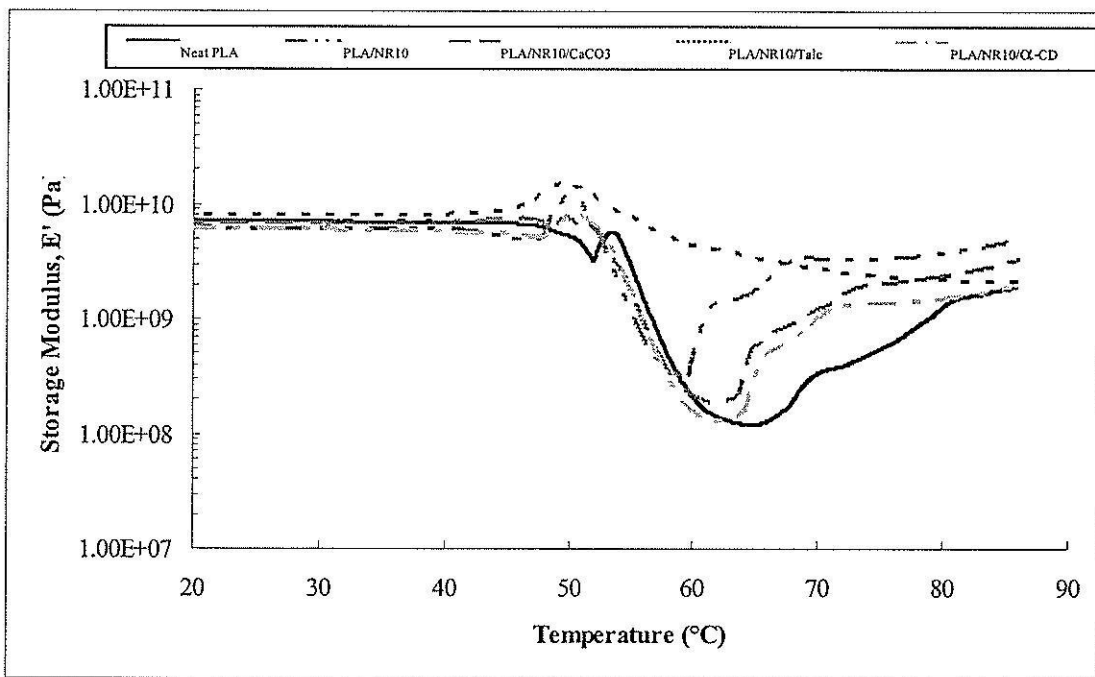
รูปที่ 3.13 เป็นกราฟของมอดูลัส静态 ( $E'$ ) ที่อุณหภูมิช่วง 20 – 85°C ของ PLA ที่ไม่มีและมีการเติมสารก่อผลึก จะเห็นว่า  $E'$  ของ PLA จะลดลงอย่างมากที่อุณหภูมิช่วง 50-60°C และถึง  $T_g$



รูปที่ 3.13 กราฟระหว่างมอดูลัส静态 ( $E'$ ) และอุณหภูมิของ PLA ที่ไม่มีและมีการเติมสารก่อผลึก

ของ PLA นี้ ซึ่งสอดคล้องกับค่า  $T_g$  ที่ได้จาก DSC ค่า  $E'$  ของ PLA ที่มีการเติมสารก่อผลึกไม่แตกต่างเมื่อไม่เติม เป็นที่น่าสังเกตว่า  $E'$  ของ PLA เมื่อเติม talc จะลดลงน้อยมากที่  $T_g$  บ่งบอกถึงปริมาณผลึกที่สูง เมื่ออุณหภูมิเพิ่มขึ้นสูงกว่า  $T_g$  กลับพบว่า  $E'$  ของทุกด้าวย่าง (ยกเว้น talc ที่คงที่) มีค่าสูงขึ้น ทั้งนี้ น่าจะเกิดจากการเกิดผลึกเมื่อให้ความร้อน เมื่ออุณหภูมิสูงขึ้น การเคลื่อนไหวของสายโซ่ไม่เลกุลของ PLA สูงขึ้นทำให้มีโอกาสเกิดผลึกได้เพิ่มขึ้น<sup>27</sup>

สำหรับพอลิเมอร์ผสม PLA/NR พบว่า ที่อุณหภูมิต่ำกว่า  $T_g$  ของ PLA ค่า  $E'$  ไม่แตกต่างจากของ PLA (รูปที่ 3.14) แสดงว่า ยางที่เติม (ปริมาณ 10% โดยน้ำหนัก) ไม่ทำให้ความแข็งเปลี่ยนแปลงอย่างมีนัย ซึ่งสอดคล้องกับผลที่ได้จากการทดสอบการดึง เมื่อเติมสารก่อผลึก ผลที่ได้ก็เป็นลักษณะเดียวกับผลของ PLA (รูปที่ 3.13)



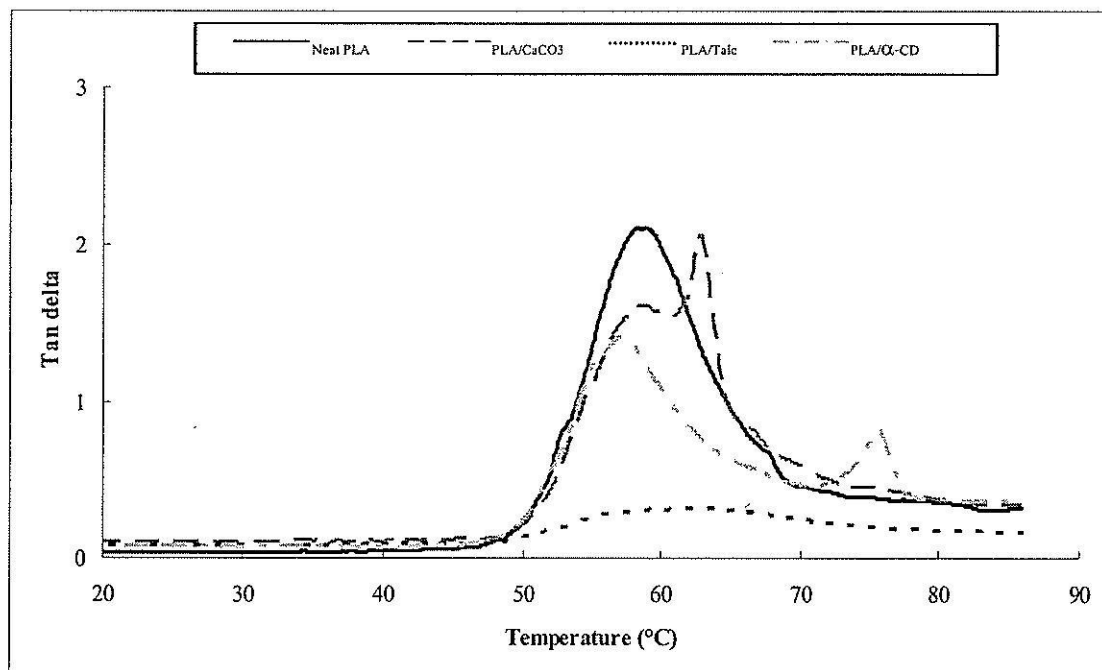
รูปที่ 3.14 กราฟระหว่างมอดูลัสสะท้อน ( $E'$ ) และอุณหภูมิของ PLA/NR ที่ไม่มีและมีการเติมสารก่อผลึก

ค่า  $\tan \delta$  เป็นอัตราส่วนระหว่างค่ามอดูลัสสูญเสีย (loss modulus,  $E''$ ) ต่อมอดูลัสสะท้อน ( $E'$ ) เป็นการวัดการกระจายพลังงาน (energy dissipation) ซึ่งໄວ่ด้วยการเคลื่อนไหวของสายโซ่ไม่เลกุล การลดลงของความสูงของพีค  $\tan \delta$  บ่งบอกว่าการเคลื่อนไหวของสายโซ่ไม่เลกุลที่ถูก

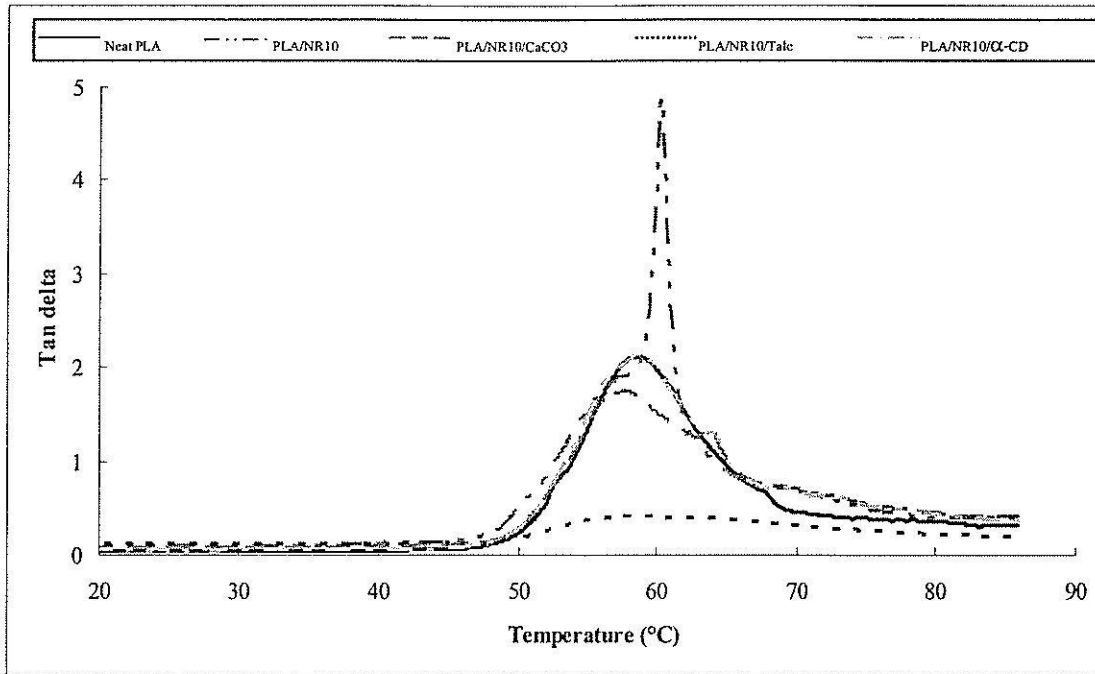
จำกัด จากการวิจัยที่มีมาก่อน Liu และคณะ<sup>27</sup> ได้อธิบายเกี่ยวกับความสูงของพีค tan δ ว่าเกี่ยวข้อง กับการเคลื่อนไหวของส่วนย่อยอิสระ (free chain segment) ในพอลิเมอร์ ลักษณะพีค tan δ ที่eken และสูงเป็นลักษณะที่พบในพอลิเมอร์สัมฐาน ขณะที่ลักษณะพีคที่กว้างและต่ำเป็นลักษณะที่พบใน พอลิเมอร์ก่อผลึก ซึ่งการเคลื่อนไหวของสายโซ่ถูกจำกัดด้วยส่วนผลึก

จากรูปที่ 3.15 กราฟระหว่าง tan δ และอุณหภูมิของ PLA ที่ไม่มีและการเติมสารก่อผลึก จะเห็นว่า ความสูงของพีค tan δ เรียงลำดับจากต่ำไปสูง ของ PLA ที่เติม talc < PLA ที่เติม  $\alpha$ -CD < PLA ที่เติม  $\text{CaCO}_3$  < PLA ซึ่งแสดงถึงลักษณะปริมาณผลึกที่มี กรณีที่ PLA นั้นมีปริมาณผลึกสูง ผลึกจะจำกัดการเคลื่อนไหวของสายโซ่ไม่เลกุด talc เป็นสารก่อผลึกที่ให้ปริมาณผลึกสูงสุด ทำให้พีค tan δ มีความสูงน้อยที่สุด

กราฟระหว่าง tan δ และอุณหภูมิของ PLA/NR ที่ไม่มีและการเติมสารก่อผลึก แสดงดัง รูปที่ 3.16 พบว่า เมื่อมีการเติมสารก่อผลึก ลักษณะพีค tan δ ของ PLA/NR ที่ได้ไม่แตกต่างจากกรณี PLA ทั้งที่เติมและไม่เติมสารก่อผลึก เป็นที่น่าสังเกต ลักษณะพีคของ PLA/NR เมื่อไม่เติมสารก่อผลึกแคบและสูงกว่ากรณีที่เติมสารก่อผลึก เป็นการบ่งบอกว่าไม่มีการจำกัดการเคลื่อนไหวของสายโซ่ไม่เลกุดในช่วงเปลี่ยนสภาพแก้วนี้



รูปที่ 3.15 กราฟระหว่าง tan δ และอุณหภูมิของ PLA ที่ไม่มีและการเติมสารก่อผลึก

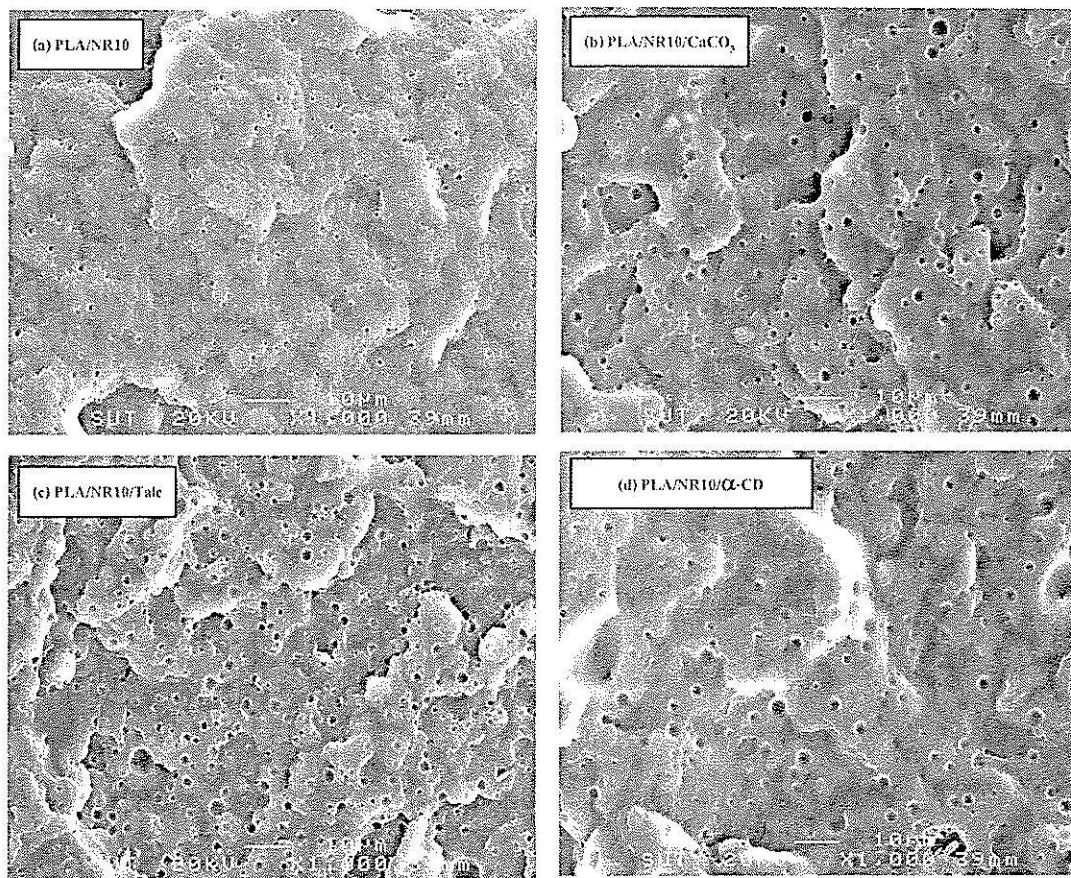


รูปที่ 3.16 กราฟระหว่าง tan δ และอุณหภูมิของ PLA/NR ที่ไม่มีและมีการเติมสารก่อผลึก

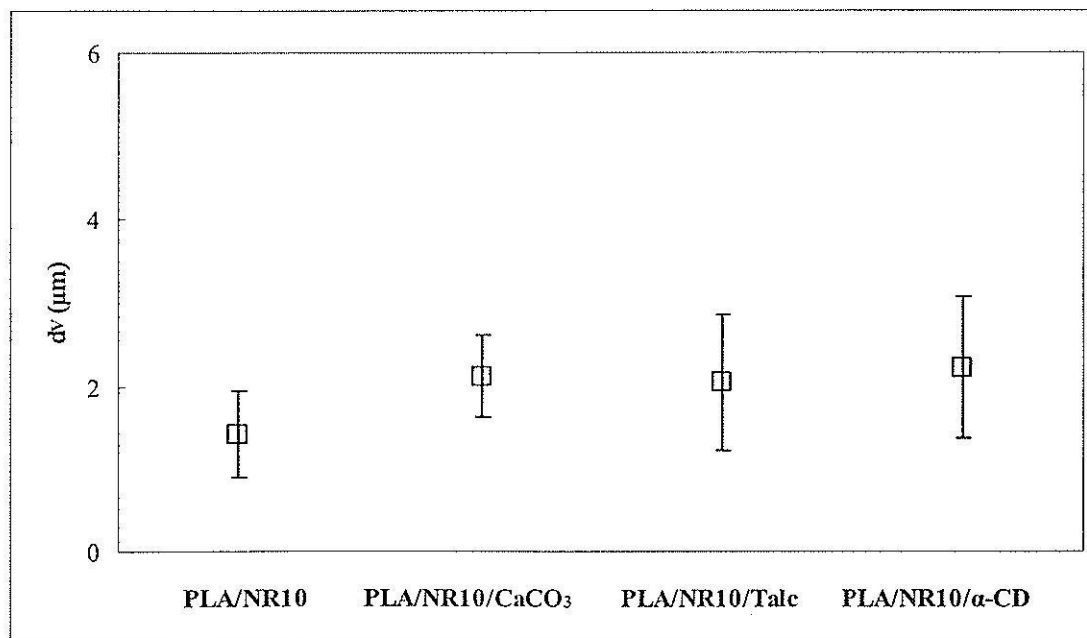
### 3.3 สัณฐานวิทยา (Morphology)

ในหัวข้อก่อนหน้านี้ ได้แสดงผลของสารก่อผลึกต่อสมบัติเชิงกลของ PLA และพอลิเมอร์ พسم PLA/NR ซึ่งสัมพันธ์กับโครงสร้างส费ียร์ไลท์ ออย่างไรก็ตาม ในกรณีของพอลิเมอร์พsm ซึ่งประกอบด้วยไฟฟ์เมทธิคิซของ PLA และเฟสกรราชายของ NR ซึ่งขนาดของเฟสกรราชายอาจเปลี่ยนแปลงได้เมื่อมีการเติมสารก่อผลึก ดังนั้น จึงนำชิ้นงานที่ผ่านการทดสอบการกระแทกมาส่อง บริเวณพื้นผิวน้ำ (fractured surface) โดยใช้เทคนิคแแกนนิ่งอิเลคตรอนในโคลอสโคปี (SEM) เพื่อศึกษาผลของสารก่อผลึกที่อาจมีต่อขนาดของเฟสกรราชาย

ภาพในໂຄරกราฟจาก SEM ของ PLA/NR ที่ไม่มีและมีการเติมสารก่อผลึก แสดงดังรูปที่ 3.17 จะเห็นว่า บริเวณพื้นผิวของ PLA/NR จะเรียบกว่า (ขรุขระน้อยกว่า) กรณีที่มีการเติมสารก่อผลึกทั้งสาม ความเรียบหรือขรุขระของบริเวณพื้นผิวน้ำจะสัมพันธ์กับค่าความหนืด弹性แบบกระแทก ออย่างไรก็ตาม ทุกกรณีจะพบว่า แสดงถึงอนุภาคบางที่ผ่านการเคลือบด้วยทองที่มีรูปร่างกลม เมื่อคำนวณหาขนาดอนุภาคเฉลี่ยเชิงปริมาตรตามสมการที่ 2.2 พบว่า เมื่อเติมสารก่อผลึกจะได้ออนุภาคบางที่มีขนาดใหญ่ขึ้นดังแสดงในรูปที่ 3.18 เป็นที่ทราบกันว่า ขนาดของอนุภาคเฟสกรราชยสั่งผลต่อ



รูปที่ 3.17 ไมโครกราฟจาก SEM บริเวณผิวน้ำของชิ้นงานของ PLA/NR ที่ผ่านการทดสอบแรงกระแทกที่ไม่มีและมีการเติมสารก่อผลึก



รูปที่ 3.18 ขนาดอนุภาคเฉลี่ยโดยปริมาตรของยางใน PLA/NR ที่มีและไม่มีการเติมสารก่อผลึก

สมบัติเชิงกลของพอลิเมอร์พสม ขนาดอนุภาคยังที่เหมาะสมจะให้ความหนึ่งสูงที่สุด ขนาดที่ใหญ่กว่า 20 ไมครอนจะไม่ส่งผลต่อความหนึ่งว ขนาด 0.5-5 ไมครอนเป็นขนาดอนุภาคที่มีประสิทธิภาพในการเสริมความหนึ่งว PLA/NR ทั้งที่ไม่มีและมีการเติมสารก่อผลึกแสดงอนุภาคที่มีขนาดในช่วง 1-3 ไมครอน ซึ่งสอดคล้องกับช่วงที่เพิ่มประสิทธิภาพความหนึ่งวได้ อย่างไรก็ตาม ความหนึ่งแบบแรงกระแทกของพอลิเมอร์พสมเหล่านี้ไม่แตกต่างกัน (สัญลักษณ์สี่เหลี่ยม ในรูปที่ 3.12) ทั้งที่ขนาดอนุภาคยังต่างกัน เมื่อมีการเติมสารก่อผลึก กล่าวได้ว่า การมีขนาดอนุภาคเป็นส่วนพสมและขนาดตัวอย่าง ไม่เป็นปัจจัยหลักในการเสริมความหนึ่งของพอลิแลกติกแอซิด

## บทที่ 4

### สรุปและข้อเสนอแนะ

งานวิจัยนี้ เป็นการศึกษาผลของสารก่อผลลัพธ์สามชนิด คือ  $\alpha$ -ไซโคลเดกตริน ทัลค์ และแอดาเซปีนคาร์บอนेट ที่มีต่อการตอกผด็ิกของพอลิแลกติกแอซิดและพอลิเมอร์สมรรถนะว่างพอลิแลกติกแอซิดและยางธรรมชาติ ซึ่งส่งผลต่อเนื่องต่อสมบัติทางความร้อนและสมบัติเชิงกลของพอลิเมอร์นี้ พบว่า สำหรับพอลิแลกติกแอซิด สารก่อผลลัพธ์  $\alpha$ -ไซโคลเดกตรินซึ่งเป็นสารที่ได้จากวัสดุธรรมชาติ และทัลค์ ช่วยทำให้เกิดผลลัพธ์ได้เร็วขึ้น สารก่อผลลัพธ์ทั้งสามช่วยเพิ่มปริมาณผลลัพธ์ และช่วยเพิ่มความเหนียวอันเป็นผลเนื่องมาจากการขาดของสไฟบรูไลท์ที่ได้ถูกเมื่อเติมสารก่อผลลัพธ์ ขณะที่ยังคงค่าความแข็ง สำหรับพอลิเมอร์สมรรถนะว่างพอลิแลกติกแอซิดและยางธรรมชาติ ทัลค์และแอดาเซปีนคาร์บอนเนตช่วยทำให้เกิดผลลัพธ์ได้เร็วขึ้นและช่วยเพิ่มปริมาณผลลัพธ์ อย่างไรก็ตาม ทัลค์จะให้ผลลัพธ์ที่มีความเป็นระเบียบสมบูรณ์น้อยทั้งในกรณีพอลิแลกติกแอซิดและพอลิเมอร์สม สารก่อผลลัพธ์ทั้งสาม ส่งผลต่อสมบัติเชิงกล ไม่แตกต่างกันอย่างมีนัย ขณะการทดสอบยางธรรมชาติส่งผลอย่างมีนัย การเติมสารก่อผลลัพธ์ทั้งสามทำให้ขนาดอนุภาคยางเพิ่มขึ้น แต่ไม่ส่งผลต่อสมบัติความเหนียวแบบแรงกระแทกเท่ากัน

จากงานวิจัยนี้ จะเห็นว่า การใช้สารก่อผลลัพธ์ช่วยทำให้การเกิดผลลัพธ์ของพอลิแลกติกแอซิดเร็วขึ้น และเมื่อผสมด้วยยางธรรมชาติจะยิ่งช่วยเสริมสมบัติด้านความเหนียวไว้ได้ สามารถใช้เป็นข้อมูลเพื่อประกอบการเลือกวัสดุดิน อัตราส่วนการผสมและสภาวะในการเข็นรูปเพื่อผลิตผลิตภัณฑ์ในอุตสาหกรรมได้ นอกจากนี้ จากการวิจัยบางส่วนน่าจะขยายสู่การวิจัยเชิงลึก อาทิเช่น ชนิดของสารก่อผลลัพธ์ต่อโครงสร้างผลลัพธ์แบบต่าง ๆ บทบาทของผลลัพธ์ที่มีโครงสร้างผลลัพธ์แตกต่างกันของพอลิแลกติกแอซิดจะส่งผลต่อสมบัติต้านต่าง ๆ อย่างไรดังเช่นกรณีของพอลิไพรพิลีน เป็นต้น

### ເອກສານອ້າງອີງ (References)

1. Kolstad, J.J. (1996), *J.Appl Polym Sci.*, 62, 1079.
2. Hollinger, M.A. (1990), *Toxicol. Lett.*, 52, 121.
3. Schmidt, S.C.; Hillmyer, M.A. (2001), *J. Polym Sci. Polym Phys*, 39, 300.
4. Nam, J.Y.; Okamoto, M.; Okamoto, H.; Nakano, M.; Usuki, A.; Matsuda, M. (2006), *Polymer*, 47, 1340.
5. Jiang, L., Zhang, J. and Wolcott, M. P. (2007). Comparison of polylactide/nano-sized calcium carbonate and polylactide/montmorillonite composites: Reinforcing effects and toughening mechanisms. *Polymer* 48(26): 7632-7644.
6. Harada, A.; Kamachi, M. (1990), *Macromolecules*, 23, 2821.
7. Harada, A.; Li, J.; Kamachi, M. (1992), *Nature*, 356, 325.
8. Rusa, C.C.; Tonelli, A.E. (2000), *Macromolecules*, 33, 5321.
9. Jia, X.; Wang, X.; Tonelli, A.E.; White, J.L. (2005), *Macromolecules*, 38, 2775.
10. Shuai, X.; Wei, M.; Porbeni, F.E.; Bullions, T.A.; Tonelli, A.E. (2002), *Biomacromolecules*, 3, 201.
11. Wei, M.; Shuai, X.; Tonelli, A.E. (2003), *Biomacromolecules*, 4, 783.
12. Rusa, C.C.; Wei, M.; Bullions, T.A.; Rusa, M.; Gomez, M.A.; Porbeni, F.E.; Wang, X.; Shin, I.D.; Balik, C.M.; White, J.L.; Tonelli, A.E. (2004), *Cryst. Growth Des.*, 4, 1431.
13. Dong, T.; Kai, W.; Pan, P.; Cao, A.; Inoue, Y. (2007), *Macromolecules* 2007, 40, 7244.
14. He, Y.; Inoue, Y. (2003), *Biomacromolecules*, 4, 1865.
15. He, Y.; Inoue, Y. (2004), *J. Polym Sci. Polym Phys*, 2004, 42, 3461.
16. Vogel, R.; Tandler, B.; Haussler, L.; Jehnichen, D.; Brunig, H. (2006), *Macromol. Biosci.*, 6, 730.

17. Tsuji, H.; Ikada, Y. (1996). Blends of isotactic and atactic poly(lactide)s: 2. Molecular-weight effects of atactic component on crystallization and morphology of equimolar blends from the melt. *Polymer* 37(4): 595-602.
18. Wang, Y.; Ribelles, J. L.G.; Sánchez, M. S.; Mano, J. F. (2005). Morphological contributions to glass transition in poly(L-lactic acid). *Macromolecules* 38(11): 4712–4718.
19. Patcharaporn Somdee (2009), Natural rubber toughening polylactic acid, M.Eng.Thesis, Suranaree University of Technology.
20. Sarasua, J.R.; Prud'homme, R. E.; Wisniewski, M.; Borgne, A. L; Spassky, N. (1998). Crystallization and melting behavior of polylactides. *Macromolecules* 31(12): 3895-3905.
21. Zhang, J.; Tashiro, K.; Tsuji, H.; Domb, A.J. (2008). Disorder-to-order phase transition and multiple melting behavior of poly(L-lactide) investigated by simultaneous measurements of WAXD and DSC. *Macromolecules* 38:1352-1357.
22. Fanegas, N.; Go'mez, M.A.; Marco, C.; Jimenez, I.; Ellis, G. (2007). Influence of a nucleating agent on the crystallization behaviour of isotactic polypropylene and elastomer blends. *Polymer* 48: 5324-5331.
23. Rosen, S. L.(1993). Fundamental principles of polymeric materials. New York: Jonh Wiley&Sons.
24. Li, H.; Huneault, M. A. (2007). Effect of nucleation and plasticization on the crystallization of poly(lactic acid). *Polymer* 48(23): 6855-6866.
25. Arends, C. B. (1996). Polymer toughening. New York: Marcel Dekker.
26. Zhang, X.; Xie, F.; Pen, Z.; Zhang, Y.; Zhang, Y.; Zhou, W. (2002). Effect of nucleating agent on the structure and properties of polypropylene/poly(ethylene-octene) blends. *Eur Polym J.* 38:1-6.
27. Liu, X.; Dever, M.; Fair, N.; Benson, R. S. (1997). Thermal and mechanical properties of poly(lactic acid) and poly(ethylene/butylene succinate) blends. *J. Envi Polym Deg* 5(4): 225-235.

## ภาควิชาเคมี

### ภาควิชาเคมี ก ผลงานทางวิชาการ



The Fourth International Workshop for Far East Young Rheologists (IWFEAYR-4)  
January 21-23, 2009 Suranaree University of Technology, Nakhon Ratchasima, Thailand

#### EFFECT OF NUCLEATING AGENT ON CRYSTALLIZATION AND DYNAMIC MECHANICAL PROPERTIES OF POLYLACTIC ACID AND NATURAL RUBBER BLENDS

B. Suksut<sup>1,2</sup> and C. Deeprasertkul<sup>1,2</sup>

<sup>1</sup>School of Polymer Engineering, Institute of Engineering,

Suranaree University of Technology, Nakhon Ratchasima 30000, Thailand.

<sup>2</sup>Center of Excellence for Petroleum, Petrochemicals, and Advanced Materials,

Chulalongkorn University, Bangkok 10330, Thailand

From our previous study, it was found that natural rubber (NR) can improve toughness of polylactic acid (PLA). At 10% wt of NR, the blend gave the highest impact strength and tensile toughness. However, blending with NR decreased the stiffness of PLA. To overcome this, using nucleating agent is considered. Three nucleating agents, calcium carbonate, talc and cyclodextrin are used. Here effects of nucleating agent on crystallization and dynamic mechanical properties of the blend in comparison to PLA are investigated. Differential scanning calorimetry (DSC) and dynamic mechanical analysis (DMA) were employed. It was found that the cold crystallization temperature and the degree of crystallinity of both PLA and PLA/NR blends increase in the presence of nucleating agents. In the glassy region, nucleating agents did not significantly affect the storage modulus ( $E'$ ) of the samples. For neat PLA, the storage modulus ( $E'$ ) was found to dramatic drop around 50-60 °C and increase at higher temperature before leveling off. In the  $\tan \delta$  plots, two peaks were observed as one at lower temperature corresponding to the glass transition temperature ( $T_g$ ) and another at higher  $T$ . The latter may relate to the cold crystallization, the formation of more perfect crystal forms or temperature rate/frequency dependence of the  $T_g$ . Similar results were observed in the PLA with the addition of calcium carbonate or cyclodextrin and PLA/NR blends with cyclodextrin. However, when using talc the drop of  $E'$  values is much less and a very weak and broad  $\tan \delta$  peak was observed in both PLA and PLA/NR blends. The addition of nucleating agent to the PLA and PLA/NR samples increases the  $T_g$ , of which talc shows the highest increase. These results suggest that nucleating agents not only affect the crystallization of both PLA and PLA/NR blends but also their dynamic mechanical properties in the vicinity of  $T_g$ .

**Acknowledgement:** This work is supported by the National Research Council of Thailand and Suranaree University of Technology. BS is grateful to the Center of Excellence for Petroleum, Petrochemicals, and Advanced Materials, Chulalongkorn University for scholarships.

## ประวัติคณบดีวิจัย

1. ชื่อ(ภาษาไทย) นางสาวจันทima ดีประเสริฐกุล  
(ภาษาอังกฤษ) Miss Chantima Deprasertkul
2. เลขหมายบัตรประจำตัวประชาชน 3 1018 00922 64 1
3. ตำแหน่งปัจจุบัน ผู้ช่วยศาสตราจารย์
4. หน่วยงานที่อยู่ที่ติดต่อ ได้พร้อมโทรศัพท์ โทรสาร และ E-mail  
สำนักวิชาศึกษาสหกรรมศาสตร์ มหาวิทยาลัยเทคโนโลยีสุรนารี  
111 ถนนมหาวิทยาลัย ต. สุรนารี อ. เมือง จ. นครราชสีมา 30000  
โทรศัพท์/โทรสาร 044-22 4434/044-22 4605  
E-mail chantima@sut.ac.th

### 5. ประวัติการศึกษา

2544 Ph.D (Macromolecular Science) Case Western Reserve University, USA.

2537 ว.ท.ม. (วิทยาศาสตร์พอลิเมอร์) มหาวิทยาลัยมหิดล ประเทศไทย

2534 ว.ท.บ. (วิทยาศาสตร์เคมี) มหาวิทยาลัยมหิดล ประเทศไทย

### 6. สาขาวิชาการที่มีความชำนาญพิเศษ (แตกต่างจากผู้การศึกษา) ระบุสาขาวิชาการ

Polymer rheology

Polymer melts, blends and suspensions

### 7. ประสบการณ์ที่เกี่ยวข้องกับการบริหารงานวิจัยทั้งภายในและภายนอกประเทศ

#### 7.1 งานวิจัยที่ดำเนินการเสร็จสิ้น

7.1.1 โครงการ การศึกษาความไม่สม่ำเสมอของการไหลของพอลิเมอร์ผสมในกระบวนการอัดรีด  
แหล่งทุนสนับสนุน: ศูนย์เทคโนโลยีโลหะและวัสดุแห่งชาติ (MTEC) กระทรวงวิทยาศาสตร์และ  
เทคโนโลยี (สถานภาพ: หัวหน้าโครงการวิจัย)

7.1.2 โครงการ ผลของการกระจายตัวของขนาดอนุภาคของยางและนิมานของแข็งต่อความ  
หนืดของน้ำยางธรรมชาติ แหล่งทุนสนับสนุน: สำนักงานกองทุนสนับสนุนการวิจัย (สกอ.) ฝ่าย  
อุดสาหกรรม (สถานภาพ: หัวหน้าโครงการวิจัย)

7.1.3 โครงการ การคัดเลือกแมคทีเรียที่มีศักยภาพในการผลิตพอลิไอดรอกซีแอคตีโนเอท (พีอีช  
เอ) จากเปลือกมันสำปะหลังและน้ำตาลจากอ้อย แหล่งทุนสนับสนุน: สำนักงานคณะกรรมการการวิจัยแห่งชาติ  
(วช.) (สถานภาพ: ผู้ร่วมวิจัย) ปีงบประมาณ 2550

#### 7.2 งานวิจัยที่กำลังทำ

7.2.1 โครงการ การศึกษาสมบัติทางความร้อน สมบัติเชิงกลและสัณฐานวิทยาของพอลิเมอร์ผสม  
ระหว่างพอลิแลกติกแอคิติดกับยางธรรมชาติ แหล่งทุนสนับสนุน: สำนักงานคณะกรรมการการวิจัยแห่งชาติ  
(วช.) (สถานภาพ: หัวหน้าโครงการ) ปีงบประมาณ 2551-2552

### 7.2.2 โครงการ ค่าศึกษาผลของสารก่อผลึกต่อการตอบผลีกของพอลิแลกติกแอกซิด แหล่งทุน

สนับสนุน: สำนักงานคณะกรรมการวิจัยแห่งชาติ (วช.) (สถานภาพ: หัวหน้าโครงการ) ปีงบประมาณ 2552

#### 8 ผลงานทางวิชาการ

Ratchanok Thanaman, and Chantima Deeprasertkul, "Linear Viscoelastic Properties of Nanosilica Filled Polyethylene Melts," Proceedings of The 5<sup>th</sup> International Workshop for East Asian Young Rheologists , Pusan National University, Pusan, Korea, January 21-23 (2010).

Buncha Suksut, and Chantima Deeprasertkul, "Effect of Nucleating Agent on Crystallization and Dynamic Mechanical Properties of Polylactic acid and Natural Rubber Blends," Proceedings of The 4<sup>th</sup> International Workshop for Far East Asian Young Rheologists (IWFEAYR-4), Suranaree University of Technology, Nakhon Ratchasima, Thailand, January 21-23 (2009).

Patcharaporn Somdee, Buncha Suksut, and Chantima Deeprasertkul, "Physical Study on Toughening of Polylactic acid with Natural Rubber," Proceedings of The Pure and Applied Chemistry International Conference 2009 (PACCON 2009), Naresuan University, Phitsanulok, Thailand, January 14-16 (2009).

J. Sridee, C.Ruksakulpiwat, and C. Deeprasertkul, "Flow Behavior of Natural Rubber Latex Concentrates:Effect of Volume Fraction and Temperature," Proceedings of The 42nd IUPAC World Polymer Congress, Taipei, Taiwan, June 29-July 4, (2008) p.112.

พรทิพย์ ประภากิมลีวงศ์ ไชยวัฒน์ รักสกุลพิวัฒน์ และ จันพิมา ดีประเสริฐกุล. (2550). ความสัมพันธ์ ระหว่างปริมาณของแข็ง ขนาดอนุภาคและสมบัติวิทยากระแสของน้ำยางธรรมชาติ. วารสารวิทยาศาสตร์มนุษย์. 35(4): 239-245.

จันพิมา ดีประเสริฐกุล และ ไชยวัฒน์ รักสกุลพิวัฒน์. (2549). ผลของการกระจายตัวของขนาดอนุภาคยาง และปริมาณของแข็งต่อกำลังหนืดของน้ำยางธรรมชาติ. ใน: วิจัยยางพารา เพื่ออนาคตที่ยั่งยืน, วาระรณรงค์ จังหวัดเชียงใหม่. สำนักงานกองทุนสนับสนุนการวิจัย (สกว.), กรุงเทพมหานคร, หน้า 269-277.

Jatuporn Sridee, Chantima Deeprasertkul, Chaiwat Ruksakulpiwat, "Applicability of Mooney and Krieger-Dougherty equations to natural rubber latex," 31<sup>st</sup> Congress on Science and Technology of Thailand, Nakhon Ratchasima, Thailand, Oct.18-20, (2005) p.228

C.Deeprasertkul and M.Jakkujan "Effect of Molecular Weight and Comonomer Content on Capillary Flow Instabilities of Metallocene Ethylen/1-Octene Copolymer," 8<sup>th</sup> Pacific Polymer Conference, Bangkok, Thailand, Nov. 25-27, (2003) p.133

- C. Deeprasertkul and M.Jakkujan "Dependence of Temperature and Comonomer Content on Pressure Oscillation of Metallocene Ethylene/Octene Copolymer in Capillary Flow," *29<sup>th</sup> Congress on Science and Technology of Thailand*, KhonKaen, Thailand, Oct.20-22, (2003) p.210
- C. Deeprasertkul and S.Yaisang "Flow Instabilities of High Density Polyethylene/Low Density Polyethylene Blends," *29<sup>th</sup> Congress on Science and Technology of Thailand*, KhonKaen, Thailand, Oct.20-22, (2003) p.215